

O ciclo

***Predição-Emparelhamento-Filtragem
na Localização de Robots Móveis***

Maria Isabel Ribeiro

Outubro de 1999

Sumário

- **Navegação e Localização**
- **Classificação de técnicas de localização**
- **A odometria**
- **Ciclo predição-emparelhamento filtragem**
 - ◆ Predição
 - ◆ Emparelhamento
 - ◆ Filtragem
- **Resultados Experimentais**
 - ◆ com sonar
 - ◆ com laser
- **Conclusões**



Navegação

- **Três perguntas fundamentais:**
 - ◆ Onde estou ?
 - ◆ Para onde vou?
 - ◆ Como chego lá?



Navegação

■ Onde estou?

LOCALIZAÇÃO

- ◆ Como posso determinar onde estou (posição e orientação), com base naquilo de que me apercebo do mundo e do conhecimento que me transmitiram à partida?

■ Para onde vou?

- ◆ É função da tarefa atribuída.

■ Como chego lá?

- ◆ Planeamento e seguimento de trajectórias, detecção e contorno de obstáculos.



Classificação de Métodos de Localização

■ Localização com Medidas Relativas

- ◆ Odometria
- ◆ Navegação Inercial

} Dead-Reckoning

■ Localização com Medidas Absolutas

- ◆ Faróis activos
- ◆ Reconhecimento de marcas artificiais
- ◆ Reconhecimento de marcas naturais
- ◆ Emparelhamento com o modelo

■ Localização com Medidas Relativas + Medidas Absolutas

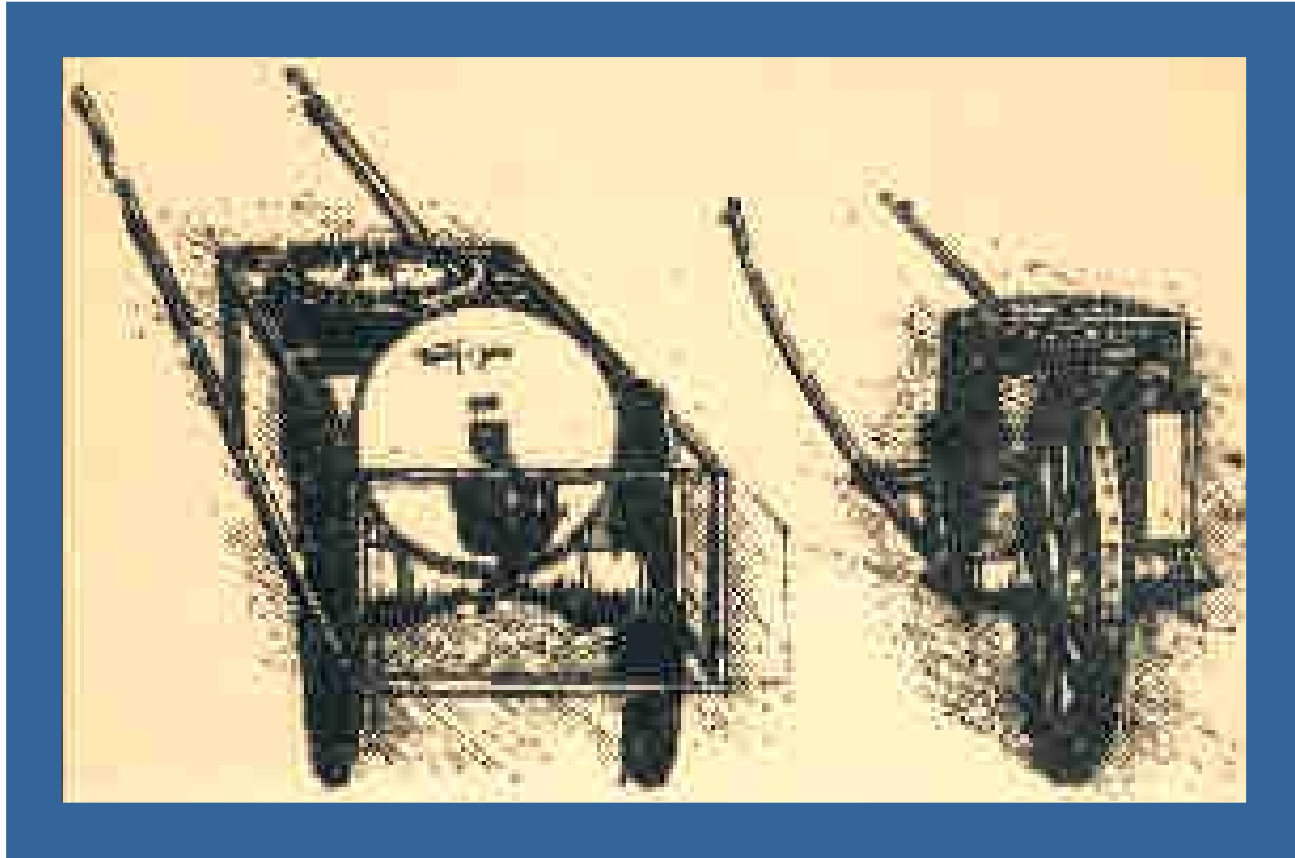


Odometria

- **Determinação da localização do robot móvel através da observação e integração consecutiva do movimento das rodas**
- **ODÓMETROS** - Instrumentos que medem a distância percorrida por veículos.
 - ◆ **Encoders** - sensores mais usuais
- **Vitruvius** descreveu o conceito no séc. 1 ac.
- **Leonardo da Vinci** (1500) construi um aparato que usava pedras para calcular a distância percorrida.



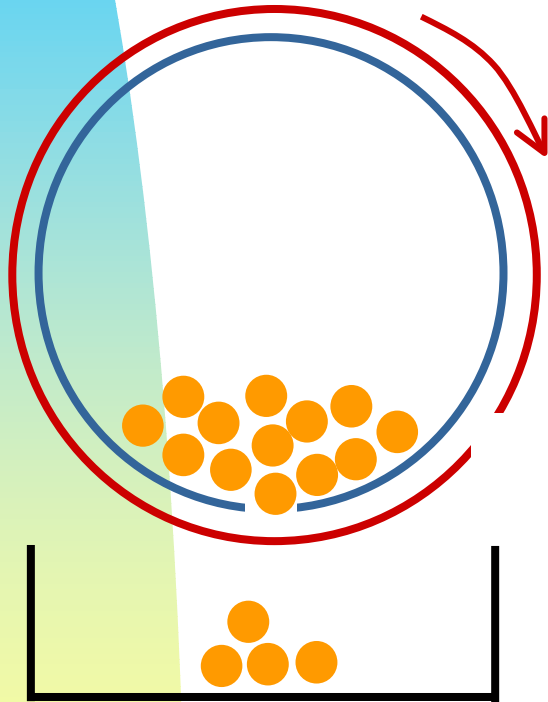
O odómetro de Leonardo da Vinci



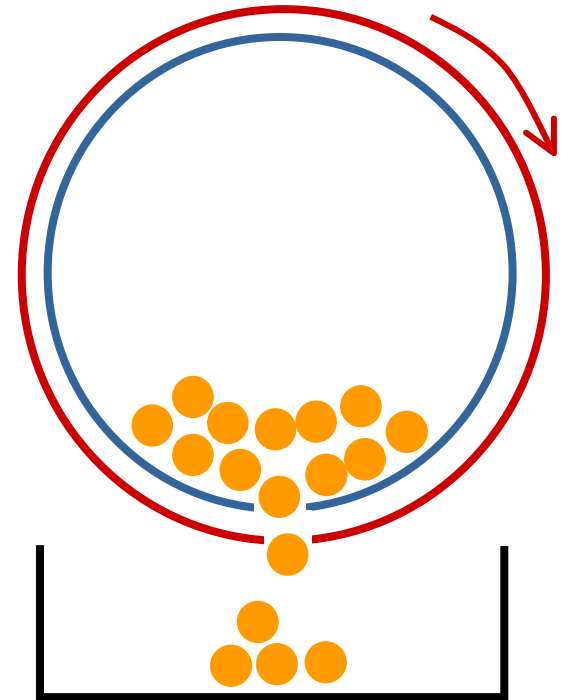
- Codex Atlanticus - Biblioteca Ambrosiana - Roma, Itália



O odómetro de Leonardo da Vinci



- **Contêntor**, fixo à estrutura do veículo, cheio com **pedras** e com um orifício na parte inferior.
- A rotação de uma das rodas faz rodar um **tambor** em torno do contêntor.
- Tambor tem um orifício do mesmo tamanho do existente no contêntor.
- Depois de um certo número de rotações da roda, os dois orifícios coincidem e uma pedra cai, sendo recolhida numa **caixa**.
- O número de pedras recolhidas na caixa num intervalo de tempo permite estimar a distância percorrida.



Fontes de erro na odometria

Integração de informação sobre **movimentos incrementais**  **acumulação de erros**

■ Erros sistemáticos

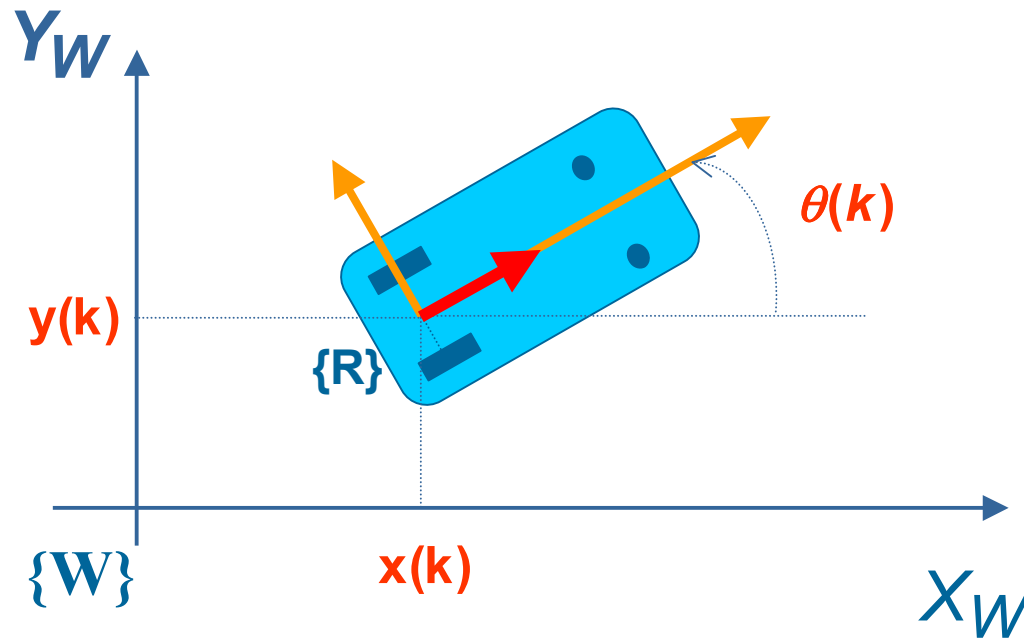
- ◆ são característicos do robot e/ou dos sensores
 - ☞ desigual diâmetro ou desalinhamento das rodas,
 - ☞ diâmetro das rodas diferente do valor nominal,
 - ☞ incerteza sobre o ponto de contacto da roda

■ Erros não sistemáticos

- ◆ são característicos da relação do robot com o ambiente
 - ☞ movimento sobre solos não uniformes (rugosos),
 - ☞ movimento sobre obstáculos inesperados no solo,
 - ☞ escorregamento das rodas
 - solo escorregadio
 - grandes acelerações do veículo
 - rotações rápidas



NOTAÇÃO



$$X(k) = \begin{bmatrix} x(k) \\ y(k) \\ \theta(k) \end{bmatrix}$$

posição
e
orientação

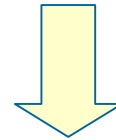
- A localização refere-se ao ponto médio do eixo entre as duas rodas motoras
- Eixo com comprimento L



Modelo da odometria

- **Descreve a evolução temporal da localização do robot móvel como função de**
 - ◆ entrada $U(k)$,
 - ◆ fonte de ruído - $v(k)$ (deformações e escorregamento das rodas, vibrações,...)

$$X(k + 1) = f(X(k), U(k)) + v(k)$$



$$U(k) = [\Delta D(k) \quad \Delta \theta(k)]^T$$

- ◆ $\Delta D(k)$ - distância percorrida pela origem do referencial do robot no intervalo $[t_k, t_{k+1}]$
- ◆ $\Delta \theta(k)$ - variação da orientação no mesmo intervalo



Estimativa da Localização por Odometria

■ Dados:

- ◆ Modelo do sistema $\mathbf{X}(k+1) = \mathbf{f}(\mathbf{X}(k), \Delta\mathbf{D}(k), \Delta\theta(k)) + \mathbf{v}(k)$
- ◆ Estimativa da localização no instante k $\hat{\mathbf{X}}(k)$
- ◆ Incerteza associada $\Sigma_{\mathbf{X}}(k)$
- ◆ Leituras de odometria (estimativas) $\Delta\hat{\mathbf{D}}(k), \Delta\hat{\theta}(k)$
- ◆ Caracterização do erro $\mathbf{Q}(k)$

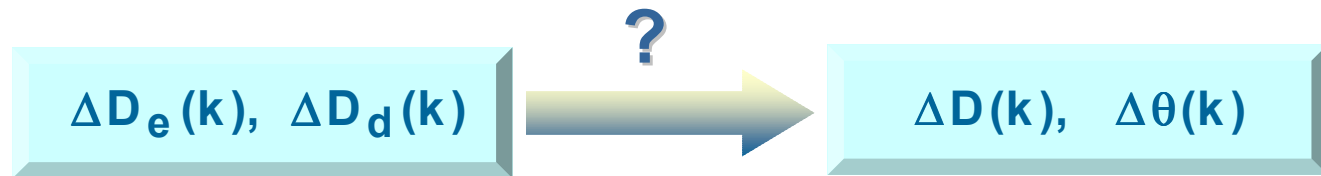
■ Pergunta:

- ◆ qual é a estimativa da localização no instante k+1? $\hat{\mathbf{X}}(k+1)$
- ◆ qual é a incerteza associada? $\Sigma_{\mathbf{X}}(k+1)$



Estimativa da Localização por Odometria

- ◆ Dadas as leituras dos odómetros $\Delta D_e(k)$, $\Delta D_d(k)$



$$\begin{cases} \Delta D(k) = \frac{\Delta D_d(k) + \Delta D_e(k)}{2} \\ \Delta\theta(k) = \frac{\Delta D_d(k) - \Delta D_e(k)}{L} \end{cases}$$

- ◆ Quais são as características do ruído de estado?

$$\mathbf{v}(k) \sim \mathbf{N}(\mathbf{0}, \mathbf{Q}(k))$$

$$\mathbf{Q}(k) = \begin{bmatrix} Q_1(k) & 0 & 0 \\ 0 & Q_2(k) & 0 \\ 0 & 0 & Q_3(k) \end{bmatrix}$$

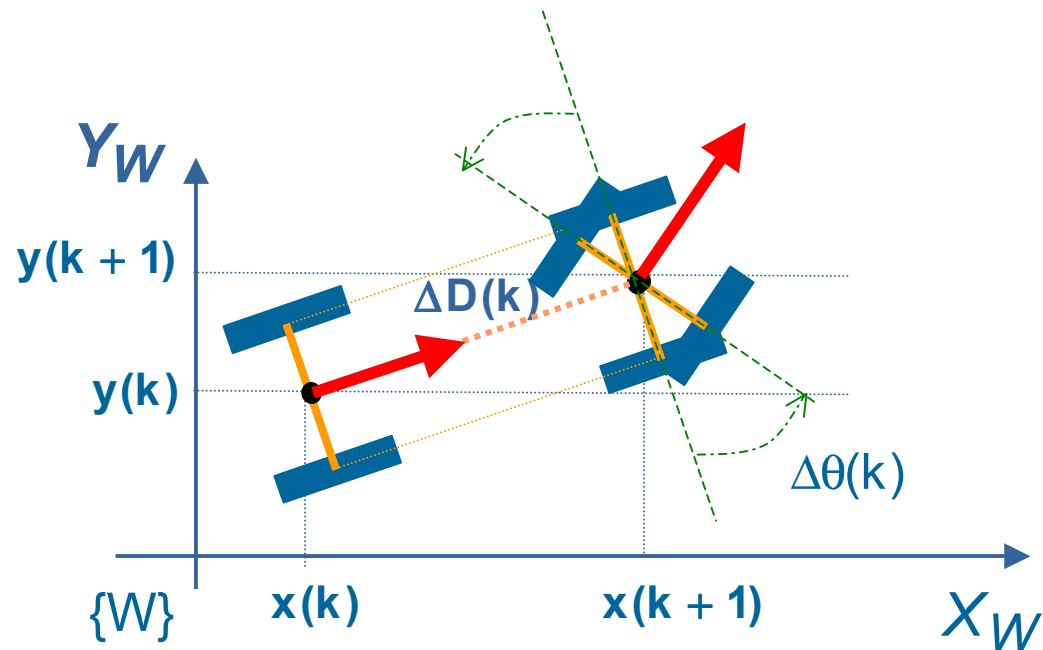
- ◆ O que é a função $f(\cdot)$?

$$\mathbf{X}(k+1) = \mathbf{f}(\mathbf{X}(k), \Delta D(k), \Delta\theta(k)) + \mathbf{v}(k)$$



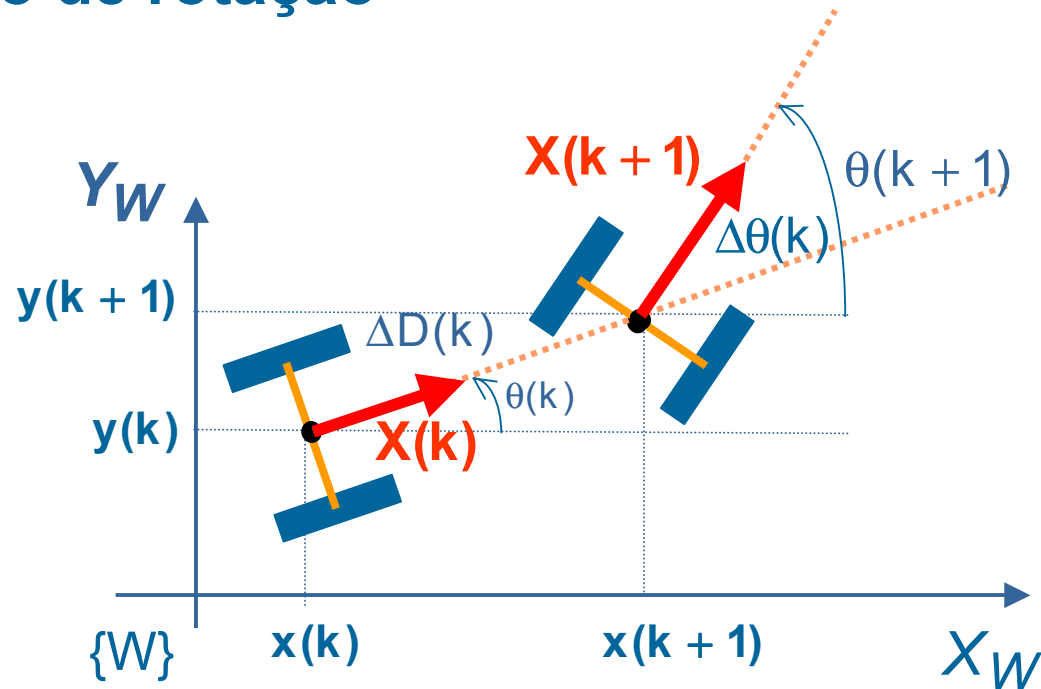
f(.) - Hipóteses simplificativas

- **TRANSLAÇÃO** seguida de uma **ROTAÇÃO** sobre o eixo de rotação



f(.)-Hipótese simplificativa

- **TRANSLAÇÃO** seguida de uma **ROTAÇÃO** sobre o eixo de rotação



$$\begin{bmatrix} x(k+1) \\ y(k+1) \\ \theta(k+1) \end{bmatrix} = \underbrace{\begin{bmatrix} x(k) + \Delta D(k) \cos(\theta(k)) \\ y(k) + \Delta D(k) \sin(\theta(k)) \\ \theta(k) + \Delta \theta(k) \end{bmatrix}}_{f(X(k), \Delta D(k), \Delta \theta(k))} + v(k)$$

$$f(X(k), \Delta D(k), \Delta \theta(k))$$



Estimativa no instante k+1

■ Estimativa

$$\hat{X}(k+1) = f(\hat{X}(k), \Delta \hat{D}(k), \Delta \hat{\theta}(k))$$

■ Incerteza - matriz de covariância (com aproximações e hipóteses subjacentes)

- ◆ Expansão de $f(X(k), \Delta D, \Delta \theta)$ em série de Taylor em torno de $\hat{X}(k), \Delta \hat{D}(k), \Delta \hat{\theta}(k)$
- ◆ Desprezando termos de ordem superior
- ◆ $X(k), \Delta D$ e $\Delta \theta$ são incorrelacionados

$$\Sigma_X(k+1) \cong \frac{dF}{dX} \Sigma_X(k) \frac{dF^T}{dX} + Q(k)$$

$$\frac{dF}{dX} = \left. \frac{\partial f}{\partial X} \right|_{X=\hat{X}(k), \Delta D=\Delta \hat{D}(k), \Delta \theta=\Delta \hat{\theta}(k)}$$



Significado da incerteza

$$\mathbf{X}(k) \sim \mathcal{N}(\hat{\mathbf{X}}(k), \Sigma_{\mathbf{X}}(k))$$

- Dados $\hat{\mathbf{X}}(k)$ e $\Sigma_{\mathbf{X}}(k)$ é possível definir o lugar geométrico dos pontos onde, com **uma dada probabilidade**, se situam os valores da variável aleatória.
- Elipsóide com centro em $\hat{\mathbf{X}}(k)$ e semi-eixos proporcionais aos valores singulares de $\Sigma_{\mathbf{X}}(k)$

$$\underbrace{(\mathbf{X}(k) - \hat{\mathbf{X}}(k))^T \Sigma_{\mathbf{X}}(k)^{-1} (\mathbf{X}(k) - \hat{\mathbf{X}}(k))}_{\text{Distribuição } \chi^2 \text{ com 3 graus de liberdade}} \leq \gamma$$

Distribuição χ^2 com 3 graus de liberdade



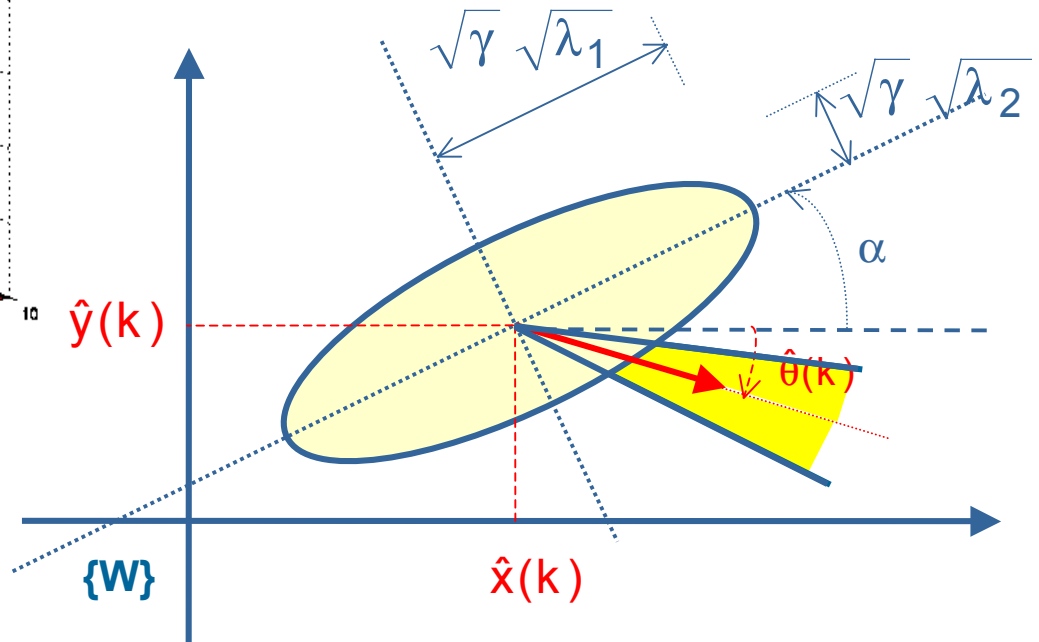
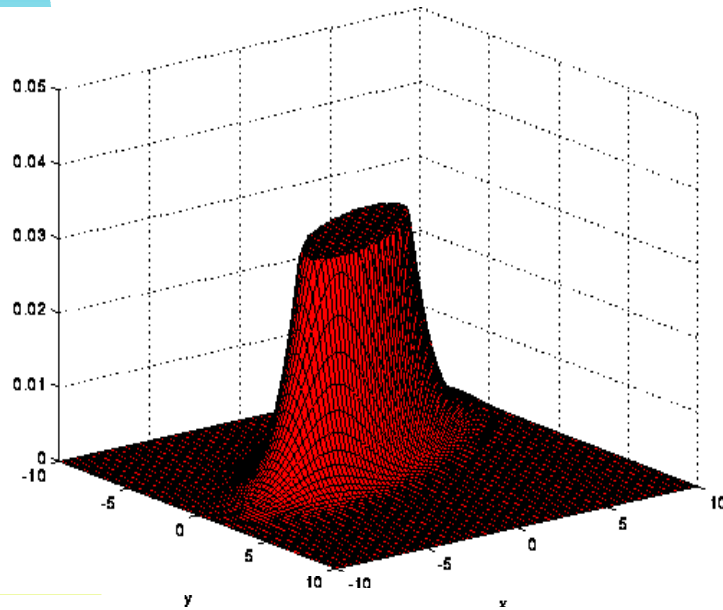
Significado da incerteza

Posição $P(k) = \begin{bmatrix} x(k) \\ y(k) \end{bmatrix}$

$$P(k) \sim N(\hat{P}(k), \Sigma_P(k))$$

$$(P(k) - \hat{P}(k))^T \Sigma_P(k)^{-1} (P(k) - \hat{P}(k)) \leq \gamma$$

Probabilidade = 90%
 $m=2 \quad \gamma=4.61$

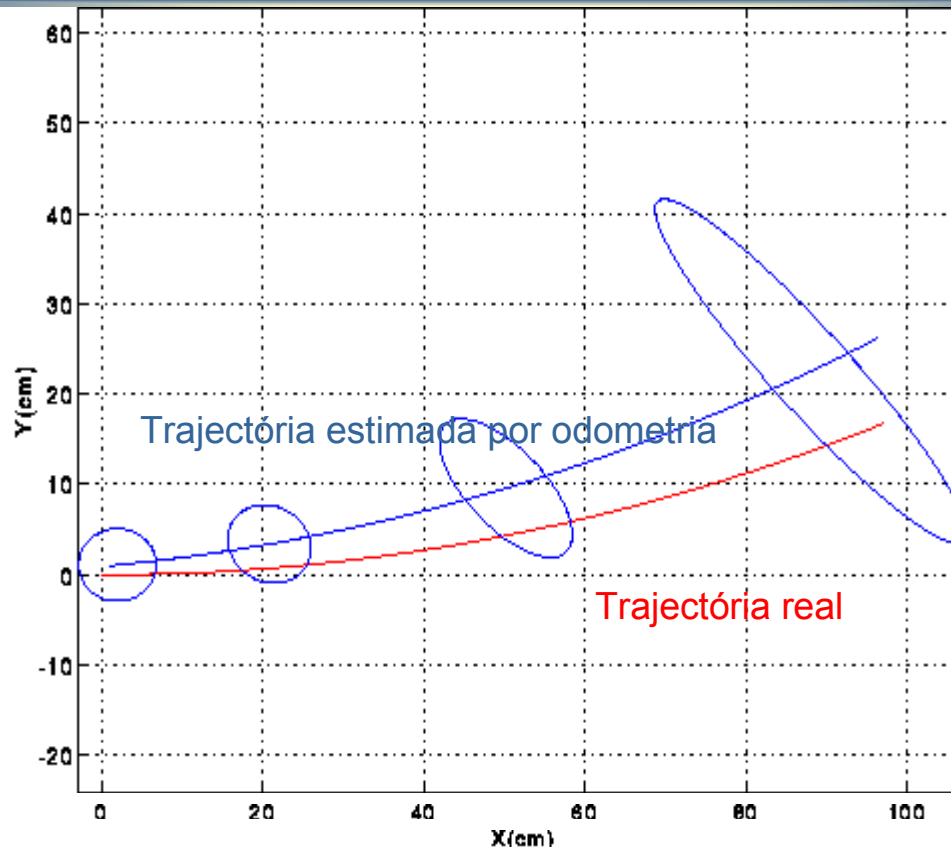


λ_1, λ_2

Valores próprios de $\Sigma_P(k)$



Odometria - Experiências



Elipses a 90% de probabilidade

Trajectória real = incrementos angulares de 0.2°

Estimativa inicial odometria $\hat{x}(0) = 1\text{cm}$, $\hat{y}(0) = 1\text{cm}$, $\hat{\theta}(0) = 5^\circ$

$$\Sigma_X(0) = \text{diag}(5\text{cm}^2, 3.5\text{cm}^2, 5^\circ{}^2)$$



Localização com medidas relativas

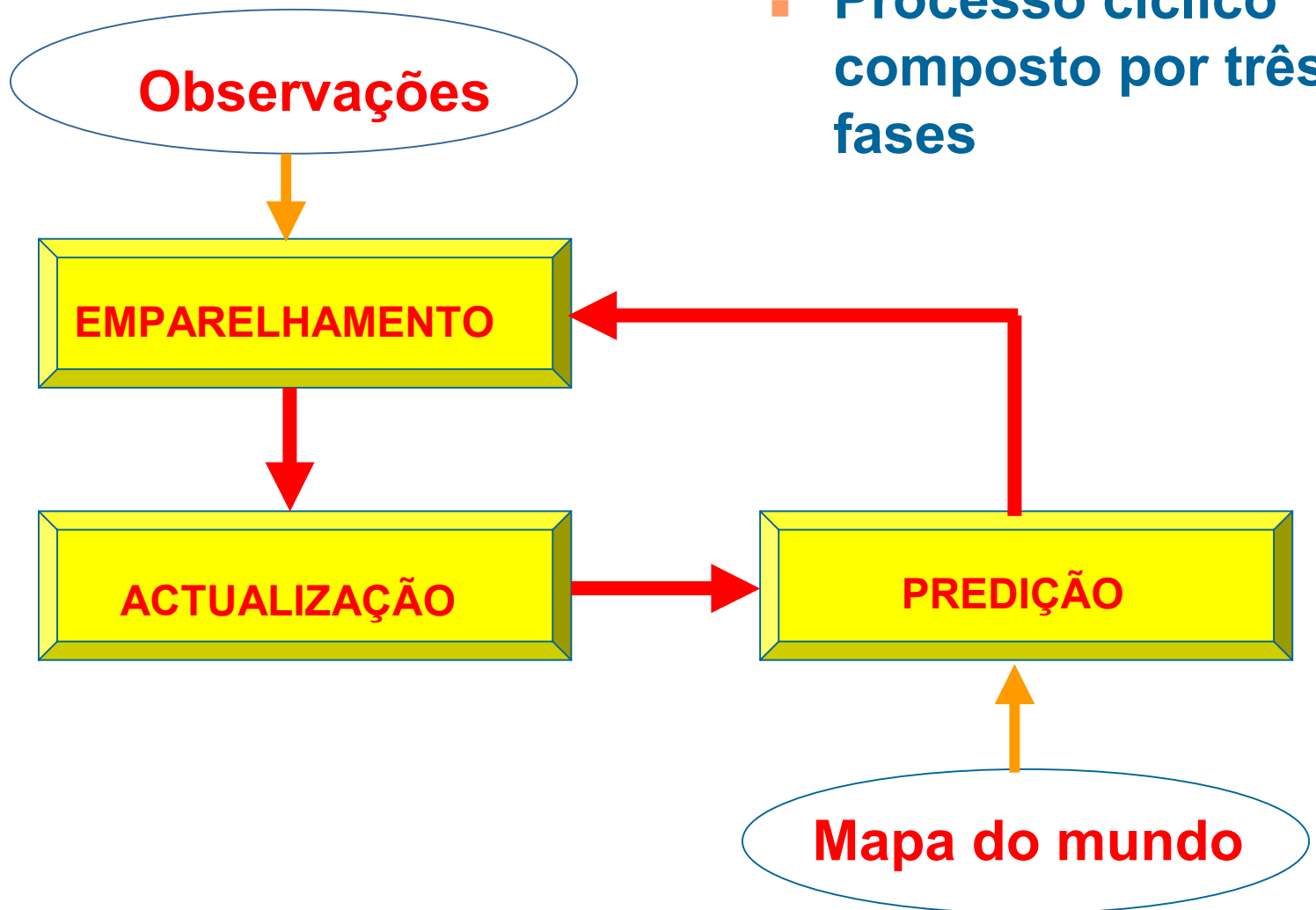
- **Vantagens** - são métodos autónomos
- **Desvantagens** - têm associados erros que crescem de forma não limitada

CONCLUSÕES

- Não são métodos precisos durante grandes intervalos de tempo
- **Exigência de localização com medidas absolutas**
 - ◆ informação centrada no robot é relacionada com informação de um mapa global



Localização relativa + localização absoluta



- Processo cíclico composto por três fases



Filtro de Kalman Estendido (EKF)

Dinâmica do Sistema

$$\begin{aligned} X(k+1) &= f(X(k), U(k)) + v(k) & v(k) &\sim N(0, Q(k)) \\ Z(k) &= h(X(k)) + w(k) & w(k) &\sim N(0, R(k)) \end{aligned}$$

EKF - Predição

$$\hat{X}(k+1/k) = f(\hat{X}(k/k), U(k))$$

$$\Sigma_X(k+1/k) = \frac{dF}{dX} \Sigma_X(k/k) \frac{dF^T}{dX} + Q(k)$$

EKF - Filtragem

$$\hat{X}(k+1/k+1) = \hat{X}(k+1/k) + K(k+1)(Z(k+1) - h(\hat{X}(k+1/k)))$$

$$K(k+1) = \Sigma_X(k+1/k) \frac{dH^T}{dX} S^{-1}(k+1)$$

$$S(k+1) = \frac{dH}{dX} \Sigma_X(k+1/k) \frac{dH^T}{dX} + R(k+1)$$

$$\Sigma_X(k+1/k+1) = \Sigma_X(k+1/k) - K(k+1)S(k+1)K(k+1)^T$$



Predição

Estimativa prevista
da localização das observações

$\hat{Z}(k+1/k)$
 $S(k+1)$

PREDIÇÃO

Odometria

Modelo das
observações

$\hat{X}(k+1/k)$
 $\Sigma_X(k+1/k)$

FILTRAGEM

$\hat{X}(k/k)$
 $\Sigma_X(k/k)$

Mapa do mundo



Predição da localização

Dinâmica do robot

$$\mathbf{X}(k+1) = \mathbf{f}(\mathbf{X}(k), \mathbf{U}(k)) + \mathbf{v}(k)$$

Dados

$$\hat{\mathbf{X}}(k/k), \Sigma_{\mathbf{x}}(k/k), \hat{\mathbf{U}}(k), \mathbf{Q}(k)$$

PREDIÇÃO do estado

$$\hat{\mathbf{X}}(k+1/k) = \mathbf{f}(\hat{\mathbf{X}}(k/k), \hat{\mathbf{U}}(k))$$

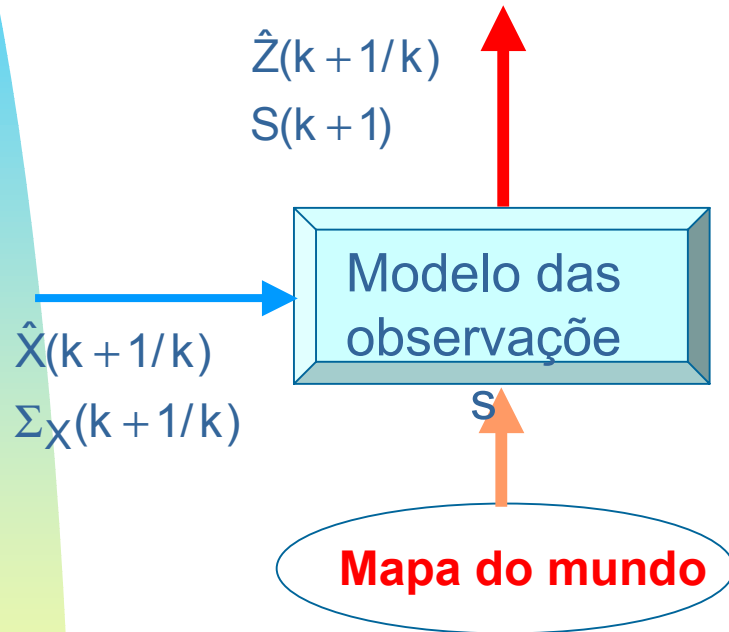
$$\Sigma_{\mathbf{x}}(k+1/k) = \frac{d\mathbf{F}}{d\mathbf{X}} \Sigma_{\mathbf{x}}(k/k) \frac{d\mathbf{F}^T}{d\mathbf{X}} + \mathbf{Q}(k)$$

Fase de **PREDIÇÃO** do **EKF**.

Dinâmica linearizada em torno da última estimativa filtrada



Predição das observações



- Mapa do mundo
- Modelo das observações
- Modelo dos sensores



Modelo das observações

$$z_j(k) = h_i(X_s(k), p_i) + w_j(k) \quad j = 1, \dots, m$$

ruído de observação $w_j(k) \sim N(0, R_j(k))$

caracterização do alvo

localização do sensor

observação associada ao sensor j

$$Z(k) = [z_1(k) \quad z_2(k) \quad \dots \quad z_m(k)]^T$$

- tipo e caracterização do sensor
- processamento dos dados

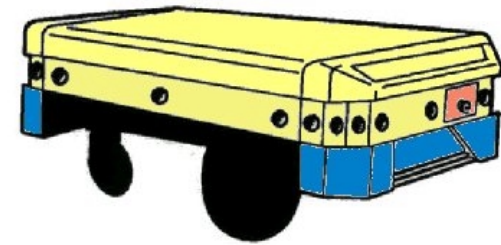
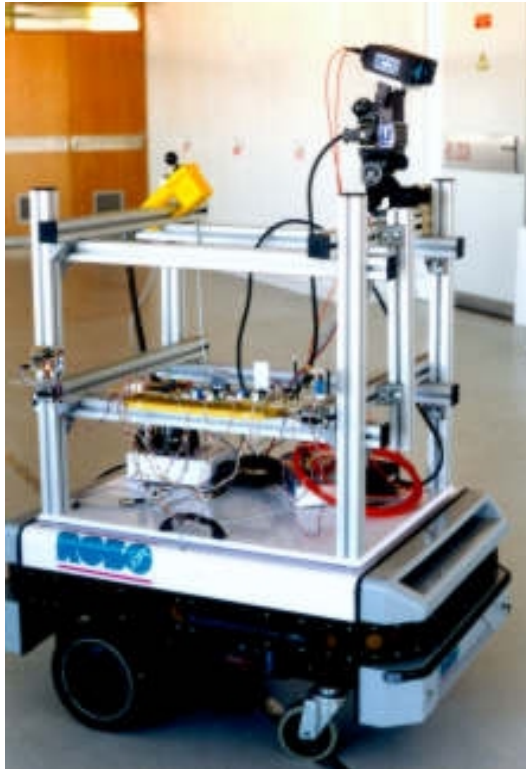
- características geométricas consideradas no mapa

- localização do robot
- localização do sensor no robot



Modelo do sensor

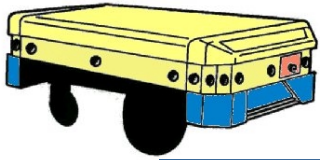
- Caracterização da percepção espacial
- Caracterização dos erros



24 sensores de ultrassom (Polaroid)

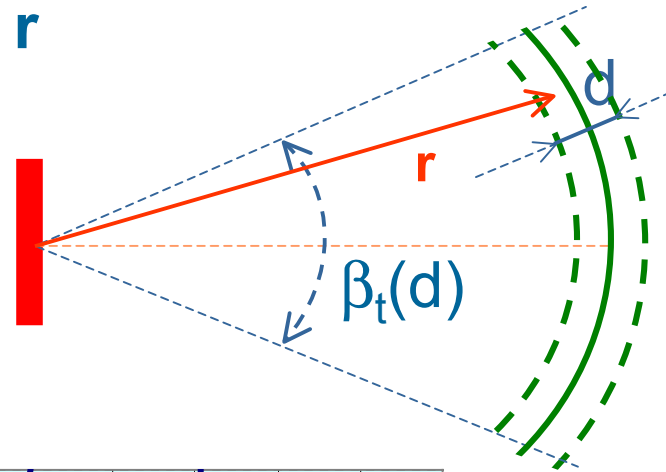
Laser Range
Scanner=LRF+PTU





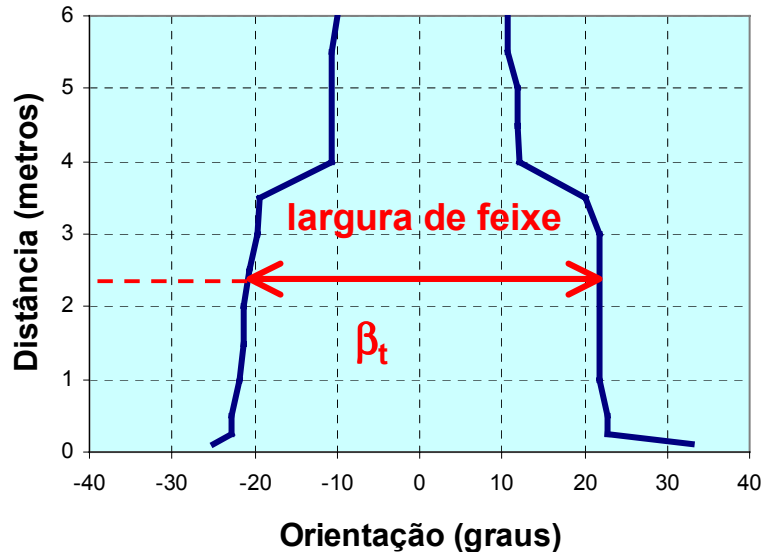
Modelo do sensor-SONAR

- percepção espacial =
distância = r



$$r \sim N(d, \sigma_d^2)$$

$$\sigma_d = 0.0052 r + 0.002(\text{m})$$



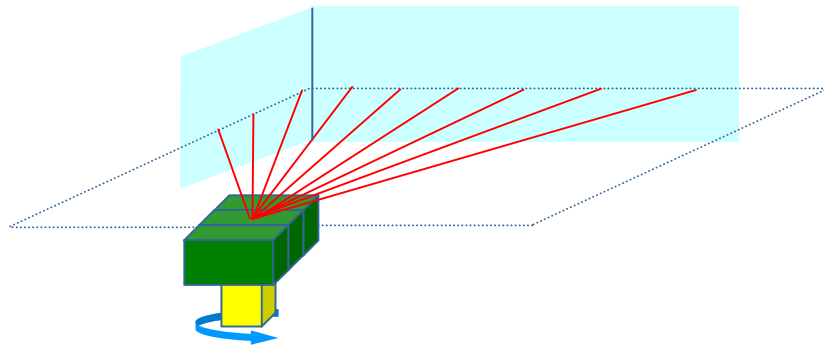
Largura de feixe efectiva
como função da distância





Modelo do sensor-LASER scanner

- percepção espacial = (distância, ângulo) = (r , φ)

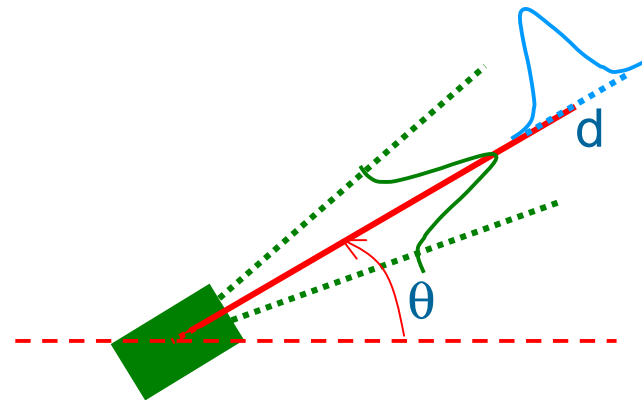


LRF - incerteza radial

PTU - incerteza angular

$$r \sim N(d, \sigma_d^2)$$

$$\varphi \sim N(\theta, \sigma_\theta^2)$$



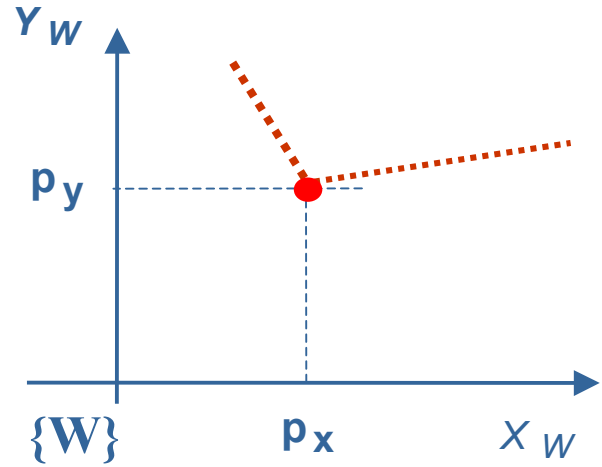
$$\sigma_d = 1,5\text{cm}, \quad \sigma_\theta = 0,05^\circ$$



Mapa do mundo

Pontos

$$p_p = \begin{bmatrix} p_x \\ p_y \end{bmatrix}$$



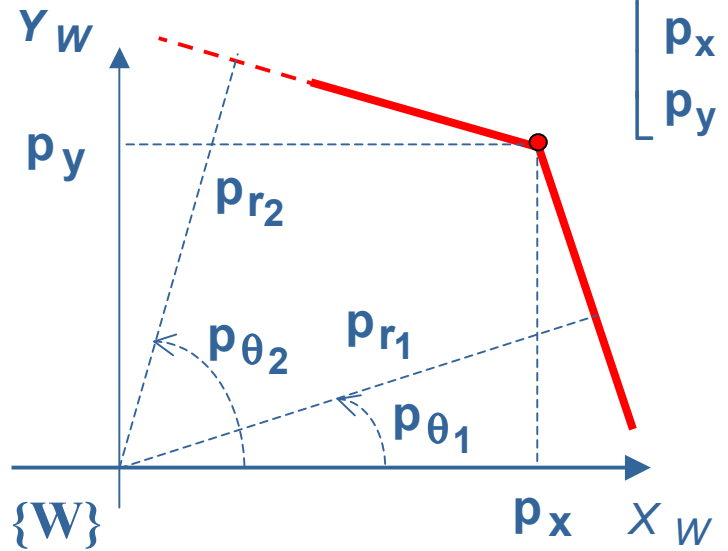
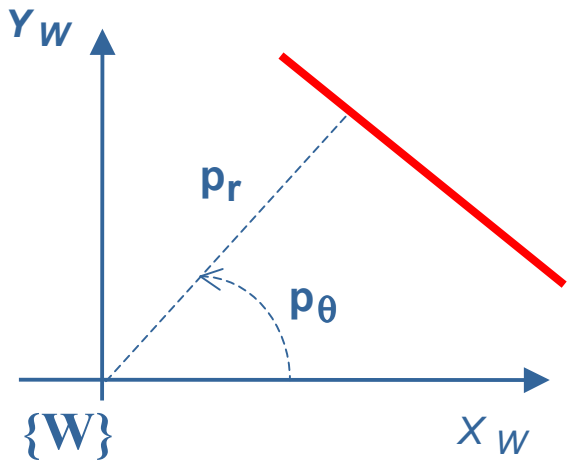
Landmarks naturais

- ◆ um ponto
- ◆ dois segmentos de recta

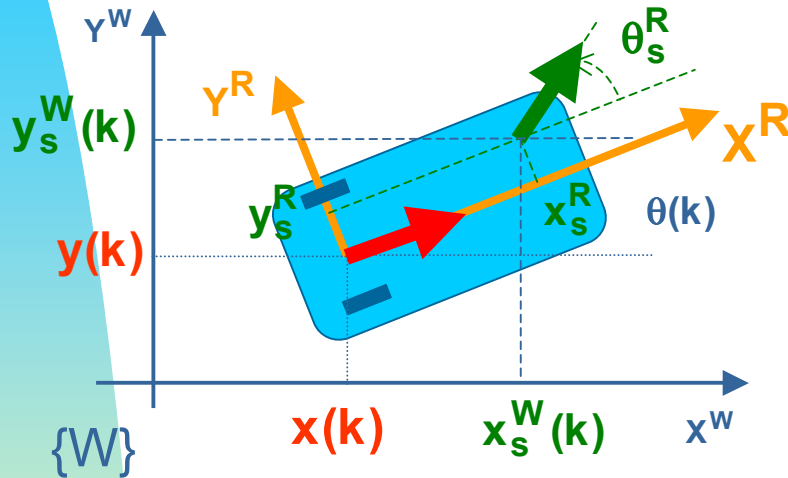
$$p_\lambda = \begin{bmatrix} p_{r_1} \\ p_{\theta_1} \\ p_{r_2} \\ p_{\theta_2} \\ p_x \\ p_y \end{bmatrix}$$

Segmentos de recta

$$p_r = \begin{bmatrix} p_r \\ p_\theta \end{bmatrix}$$



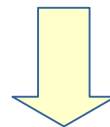
Predição da Localização do sensor



$$X(k) \longrightarrow X_s(k)$$

$$X_s(k) = \begin{bmatrix} x_s^W(k) \\ y_s^W(k) \\ \theta_s^W(k) \end{bmatrix} = X(k) + \begin{bmatrix} \cos\theta(k) & -\sin\theta(k) & 0 \\ \sin\theta(k) & \cos\theta(k) & 0 \\ 0 & 0 & 1 \end{bmatrix} \begin{bmatrix} x_s^R \\ y_s^R \\ \theta_s^R \end{bmatrix}$$

$$\hat{X}(k + 1/k)$$



$$\hat{X}_s(k + 1/k)$$

+
Mapa do mundo
+
Modelo do sensor



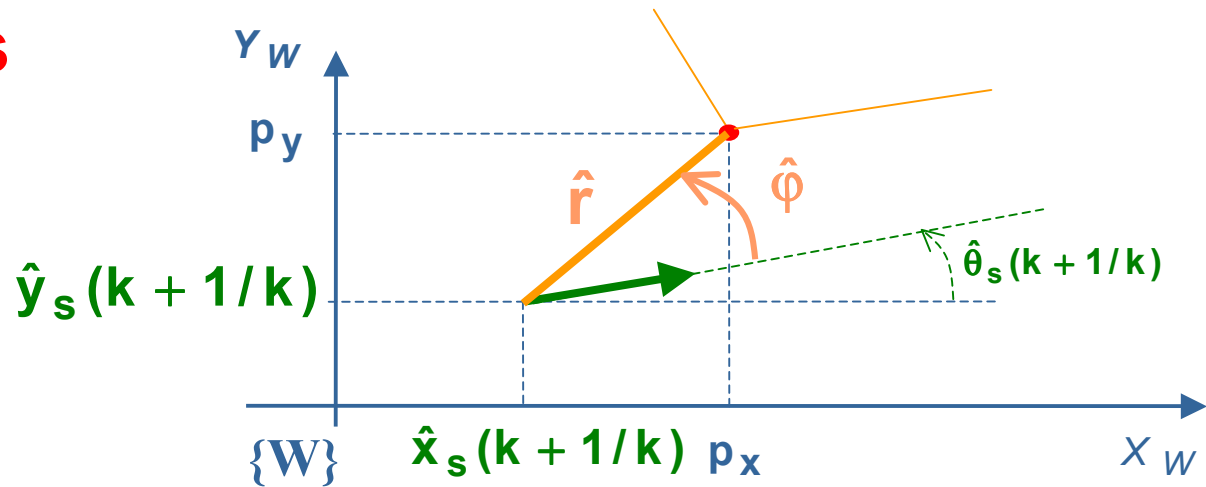
predição das
observações



Predição das Observações

■ Pontos

$$p_p = \begin{bmatrix} p_x \\ p_y \end{bmatrix}$$



$$\hat{z}_i(k + 1/k) = h_i(\hat{X}_s(k + 1/k), p_p)$$

$$h_i = \begin{bmatrix} \hat{r} \\ \hat{\phi} \end{bmatrix} = \begin{bmatrix} \sqrt{(p_x - \hat{x}_s)^2 + (p_y - \hat{y}_s)^2} \\ \arctg \frac{p_y - \hat{y}_s}{p_x - \hat{x}_s} - \hat{\theta}_s \end{bmatrix} \leftarrow \text{Sonar}$$

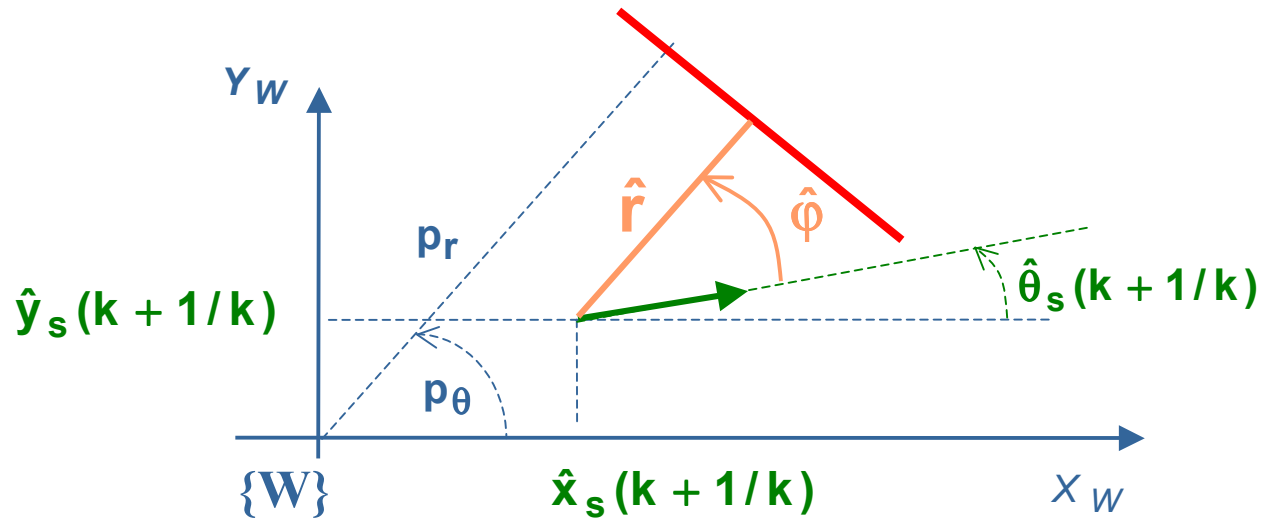
$$R_i(k) = \begin{bmatrix} \sigma_d^2 & 0 \\ 0 & \sigma_\theta^2 \end{bmatrix}$$



Predição das Observações

Segmentos de recta

$$p_r = \begin{bmatrix} p_r \\ p_\theta \end{bmatrix}$$



$$\hat{z}_i(k+1/k) = h_i(\hat{X}_s(k+1/k), p_p)$$

$$h_i = \begin{bmatrix} \hat{r} \\ \hat{\phi} \end{bmatrix} = \begin{bmatrix} p_r - \hat{x}_s \cos(p_\theta) - \hat{y}_s \sin(p_\theta) \\ p_\theta - \hat{\theta}_s \end{bmatrix} \leftarrow \text{Sonar}$$

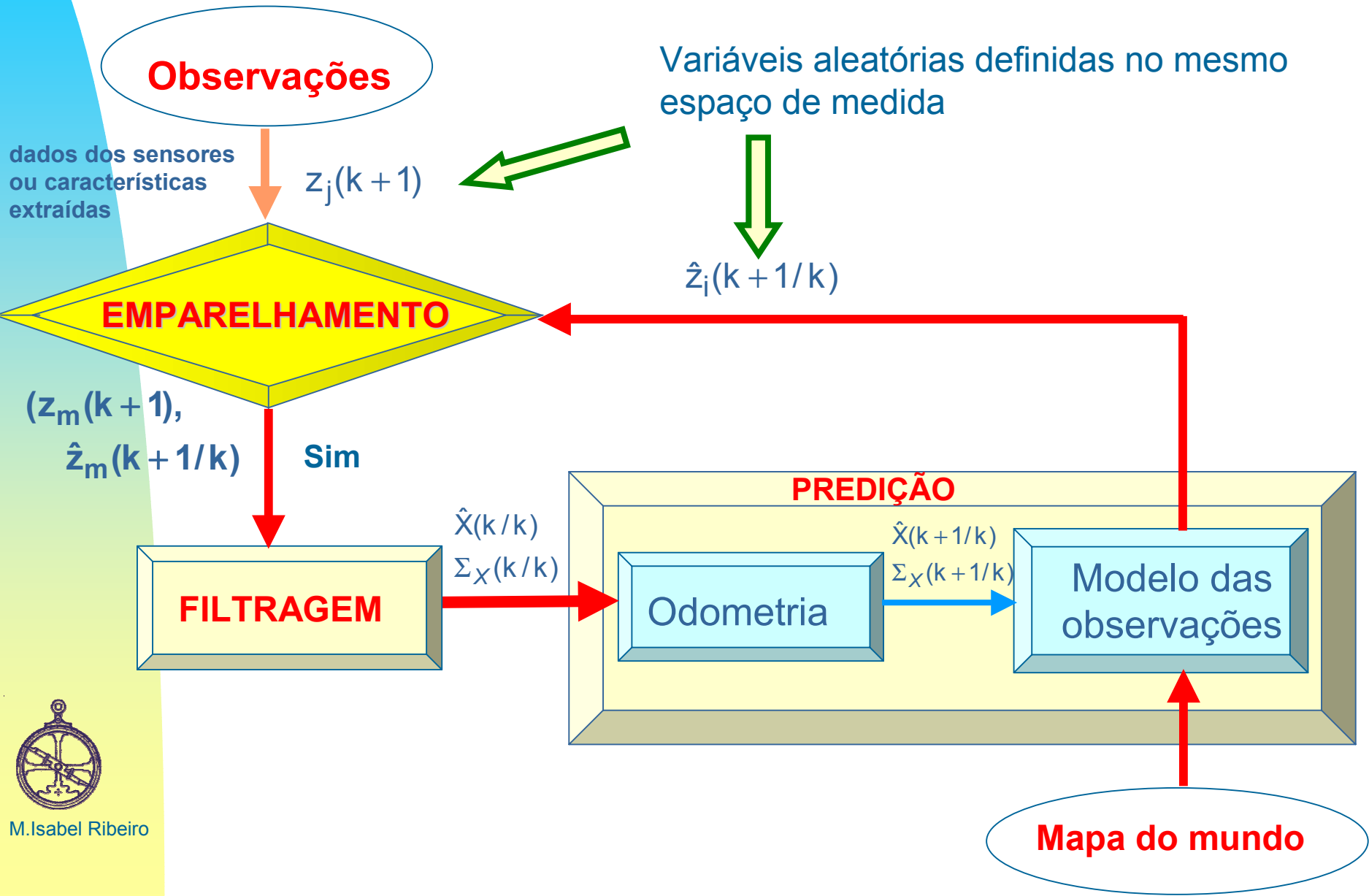
$$R_i(k) = \begin{bmatrix} \sigma_r^2 & 0 \\ 0 & \sigma_\phi^2 \end{bmatrix}$$

$\sigma_r^2, \sigma_\phi^2$ são função de $\sigma_d^2, \sigma_\theta^2$

$$R_i(k) = \sigma_d^2$$



Emparelhamento

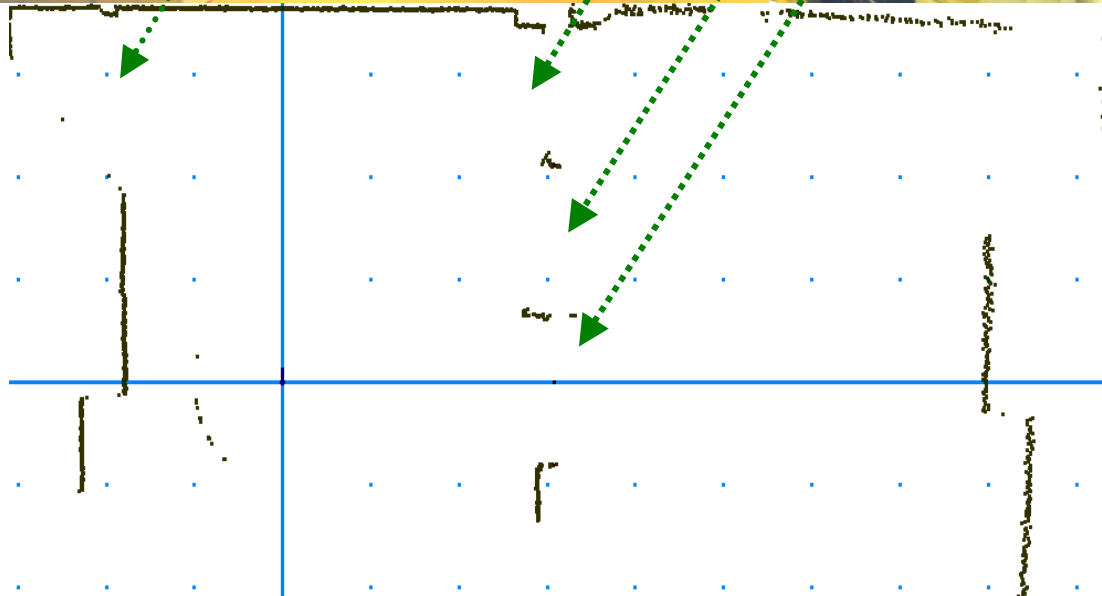


Emparelhamento

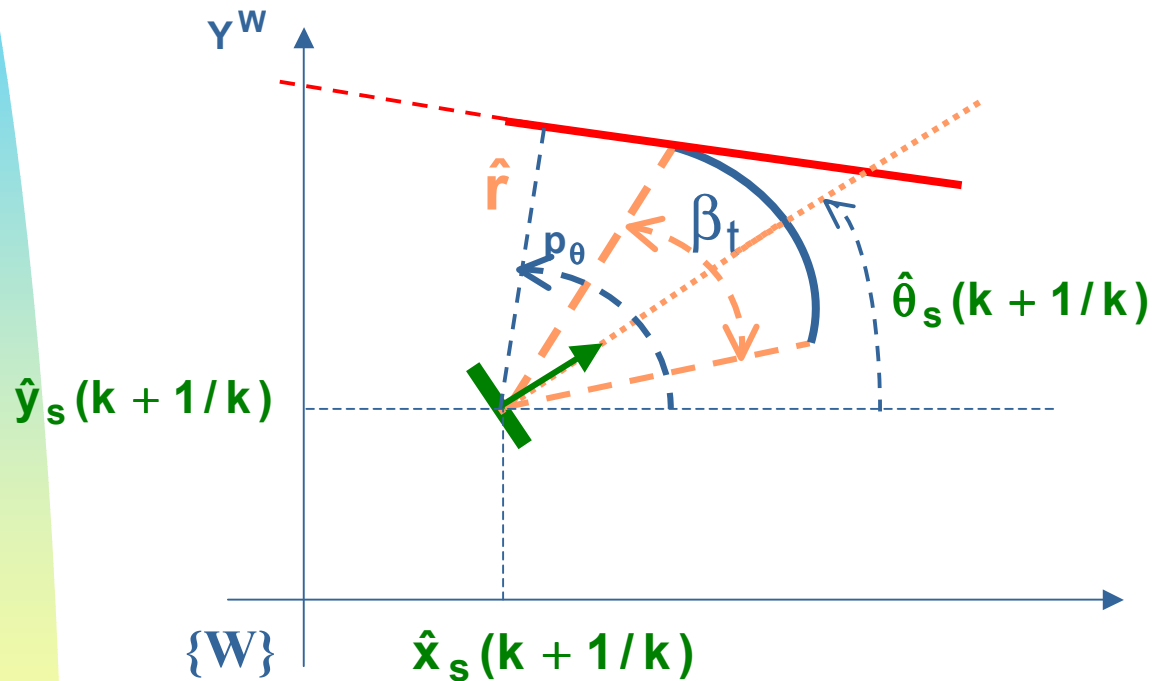
- **O que é o emparelhamento**
 - ◆ Quais são os pares $(z_j(k+1), \hat{z}_j(k+1/k))$ válidos?
- **Porque é necessário?**
 - ◆ Pares inválidos podem levar à divergência do EKF
 - ◆ Para ignorar **observações** ruidosas (outliers)
 - ☞ sonar - reflexões múltiplas
 - ☞ laser - reflexões especulares
 - ◆ Para ignorar **predições** erradas ou inexistentes



Laser - Reflexões Especulares



Sonar - Predições Inexistentes



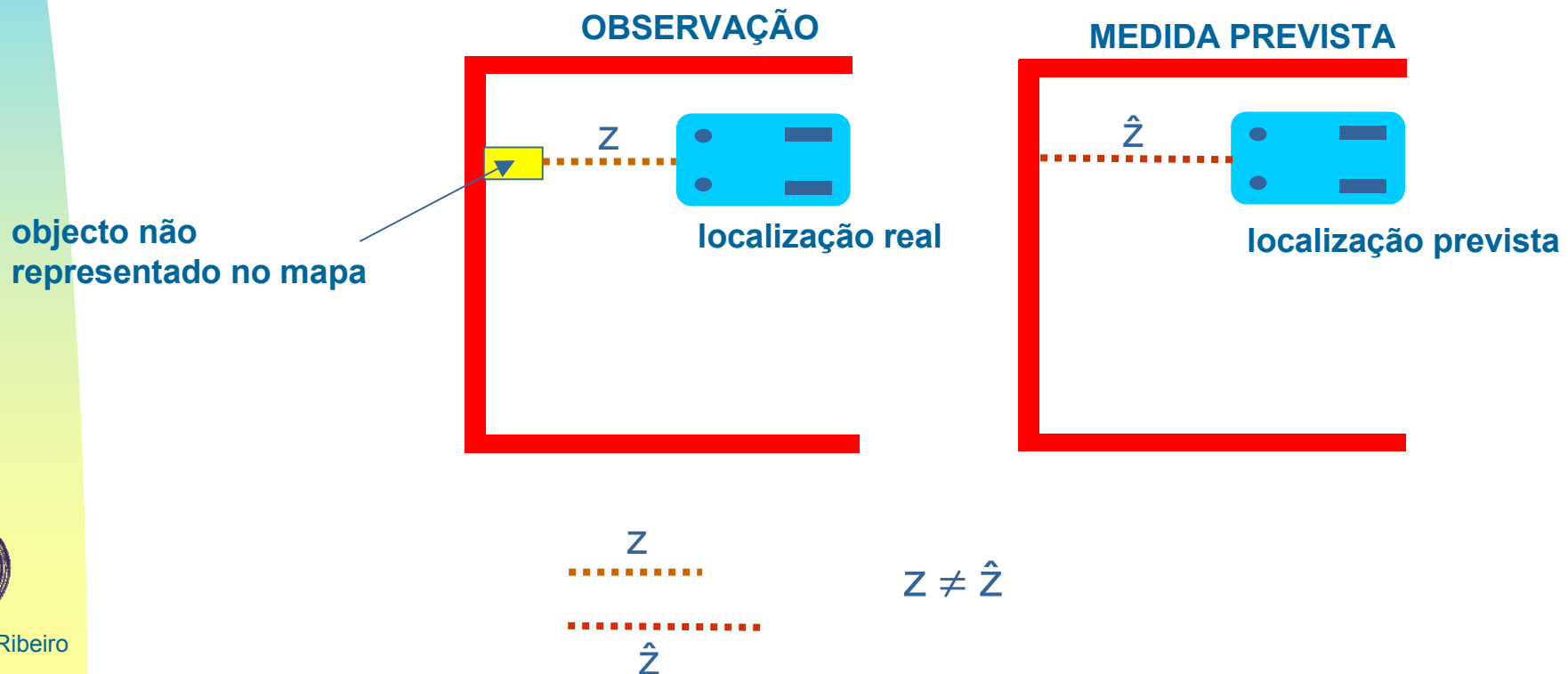
Teste de
visibilidade

$$\underbrace{|p_\theta - \hat{\theta}_s(k+1/k)|}_{\hat{\phi}} \leq \frac{\beta_t}{2}$$



Sonar - Predições Erradas

- Observações previstas erradas



Emparelhamento

■ Como se concretiza?

$$v_{ij}(k+1) = z_j(k+1) - \hat{z}_i(k+1/k) \quad \text{inovações}$$

$$S_{ij}(k+1) = E[v_{ij}(k+1)v_{ij}(k+1)^T] = \frac{dH_i}{dX} \Sigma_X(k+1/k) \frac{dH_i^T}{dX} + R_i(k+1)$$

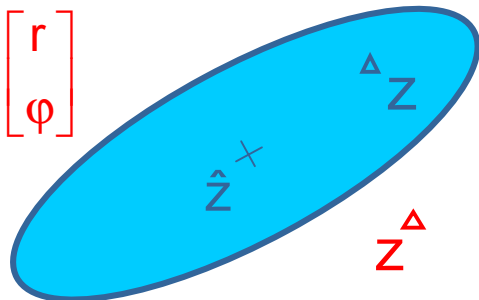
$$v_{ij}(k+1)^T S_{ij}(k+1)^{-1} v_{ij}(k+1) \leq \gamma$$

região de validade centrada em $\hat{z}_i(k+1/k)$

Teste de inclusão de $z_j(k+1)$ na região de validade centrada em $\hat{z}_i(k+1/k)$

laser

$$z = \begin{bmatrix} r \\ \varphi \end{bmatrix}$$



espaço das observações

sonar

$$z = [r]$$



Emparelhamento e Filtragem

■ Resultado do emparelhamento

$$V(k+1) = Z(k+1) - \hat{Z}(k+1/k) = \begin{bmatrix} z_1(k+1) - \hat{z}_1(k+1/k) \\ z_2(k+1) - \hat{z}_2(k+1/k) \\ \vdots \\ z_n(k+1) - \hat{z}_n(k+1/k) \end{bmatrix} \quad \text{pares válidos}$$

$$S(k+1) = E[V(k+1)V(k+1)^T] = \frac{dH}{dX} \Sigma_X(k+1/k) \frac{dH^T}{dX} + R(k+1)$$

$$\frac{dH}{dX} = \left[\frac{dH_1^T}{dX} \quad \Lambda \quad \frac{dH_n^T}{dX} \right]^T \quad \frac{dH_i}{dX} = \left. \frac{\partial h_i}{\partial X} \right|_{X=\hat{X}(k+1/k)}$$

$$R(k+1) = \text{diag}(R_1(k+1), R_2(k+1), \Lambda, R_n(k+1))$$

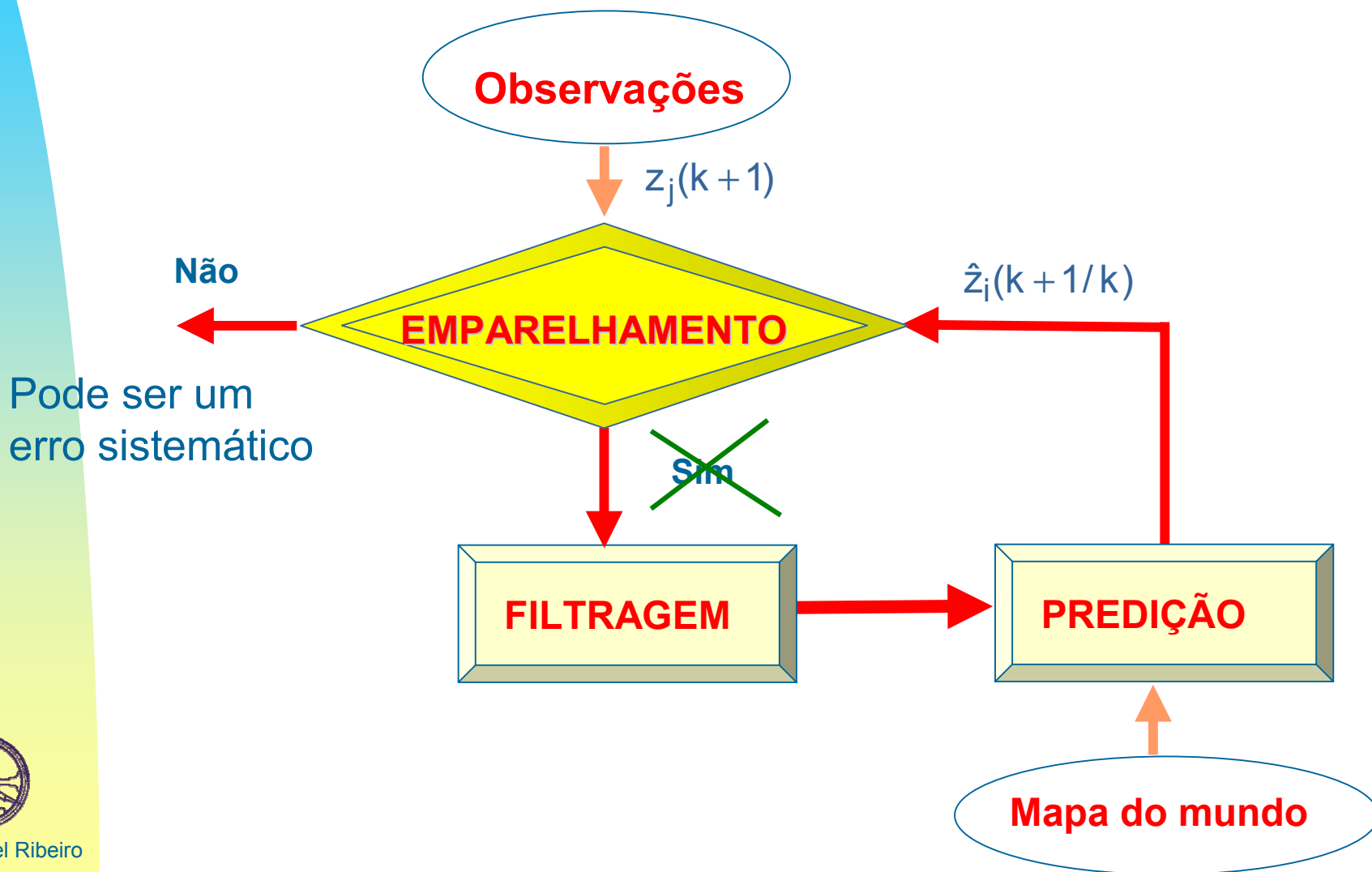
■ Filtragem

$$\hat{X}(k+1/k+1) = \hat{X}(k+1/k) + K(k+1)[Z(k+1) - \hat{Z}(k+1/k)]$$

$$K(k+1), \Sigma_X(k+1/k+1)$$

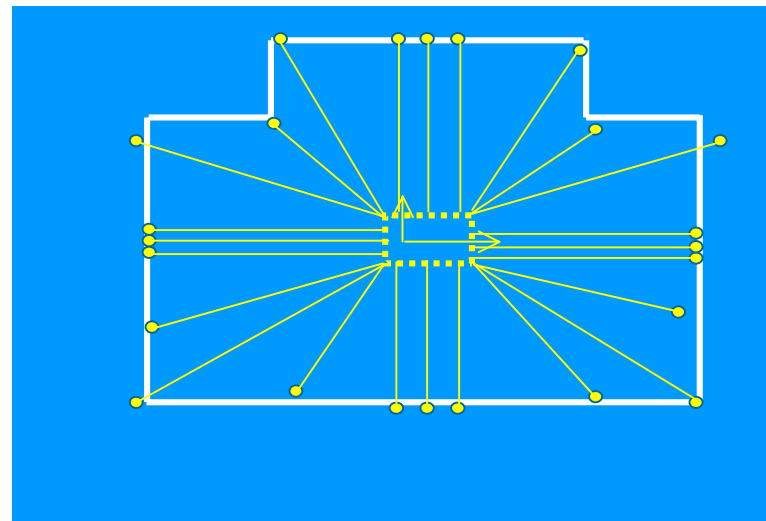
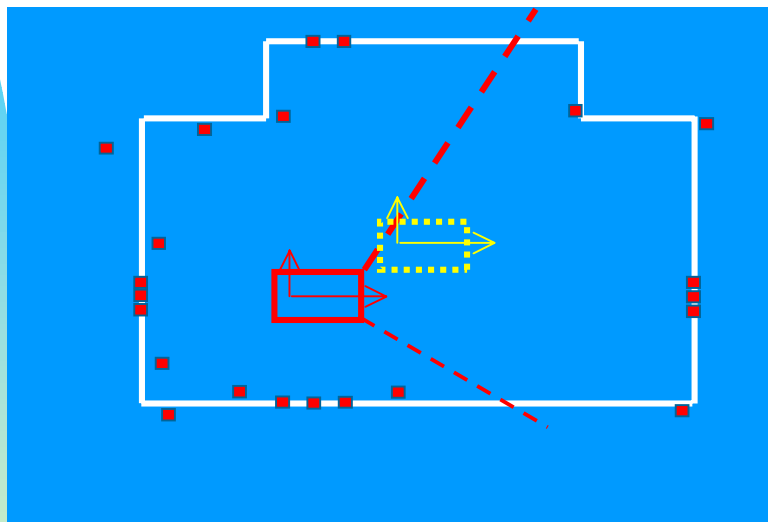


E se não houver emparelhamentos?



Detector de *Bias*

Translação



prevista

- **Previsão** das observações a partir da **localização prevista**

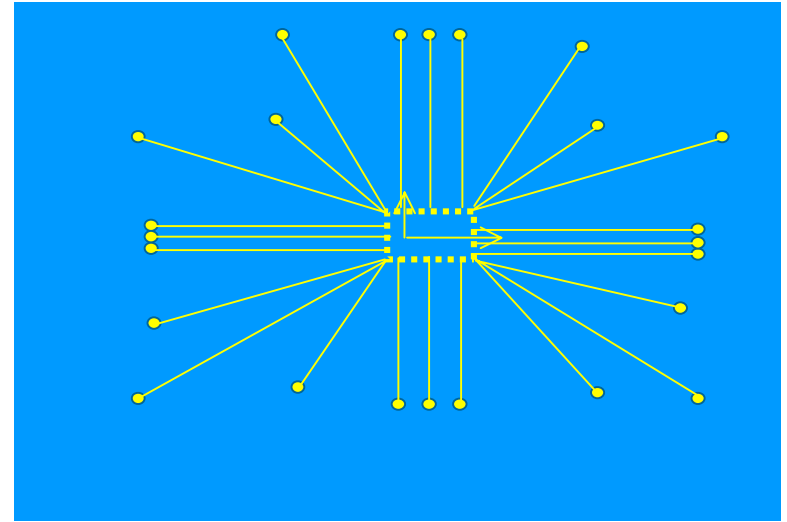
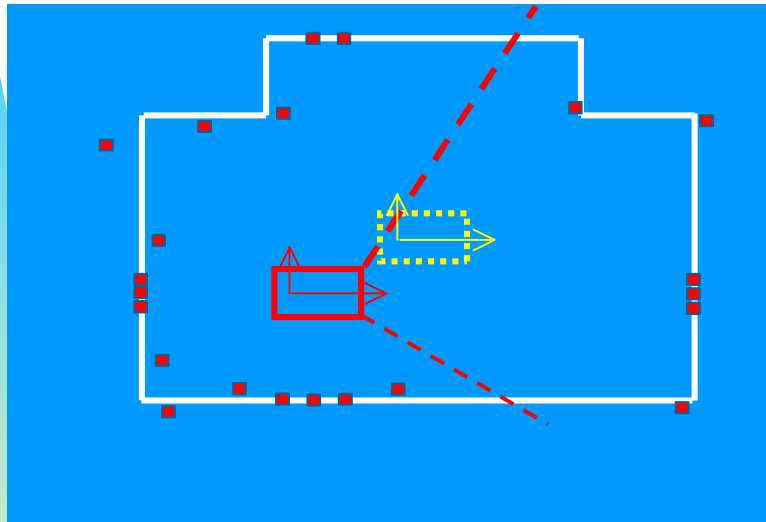


- direcções segundo as quais não é possível fazer predição de acordo com o modelo do sensor



Detector de *Bias*

Translação



Localização

prevista

- **Previsão** das observações a partir da **localização prevista**



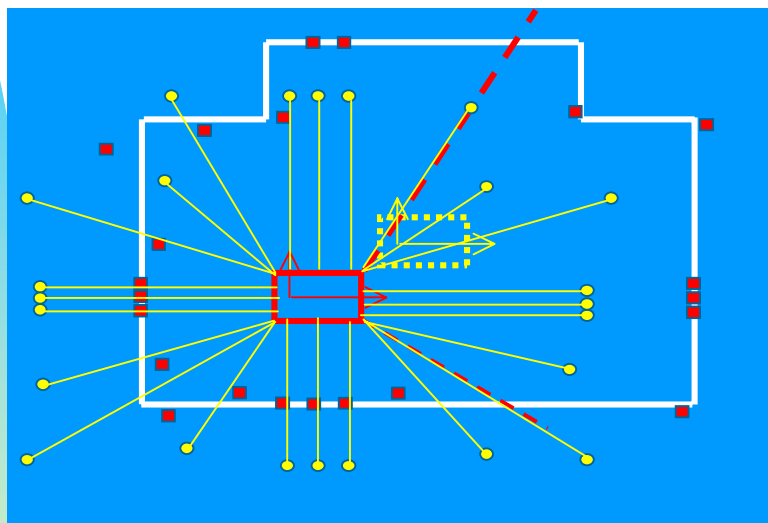
Localização **real**

- direcções segundo as quais não é possível fazer predição de acordo com o modelo do sensor



Detector de *Bias*

Translação



Localização

prevista

- **Previsão** das observações a partir da **localização prevista**



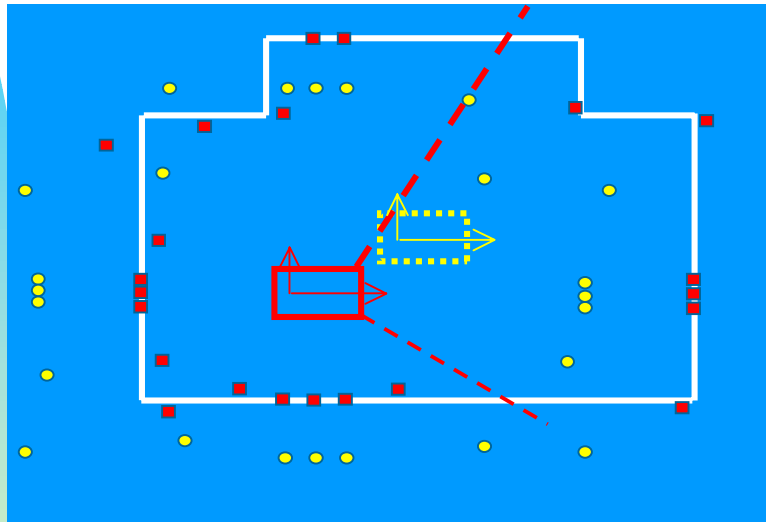
Localização **real**

- direcções segundo as quais não é possível fazer predição de acordo com o modelo do sensor



Detector de *Bias*

Translação



- **previsão**
Previsão das observações a partir da **localização prevista**



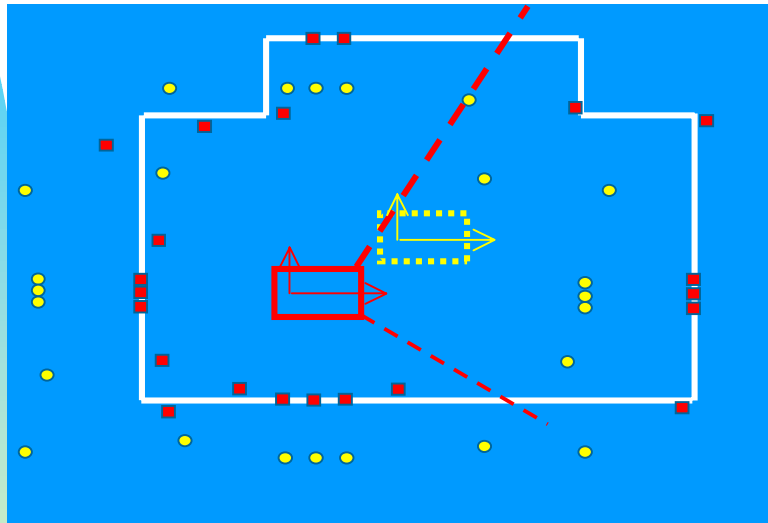
- Observações **reais** como se vistas da **localização prevista**

--- direcções segundo as quais não é possível fazer predição de acordo com o modelo do sensor

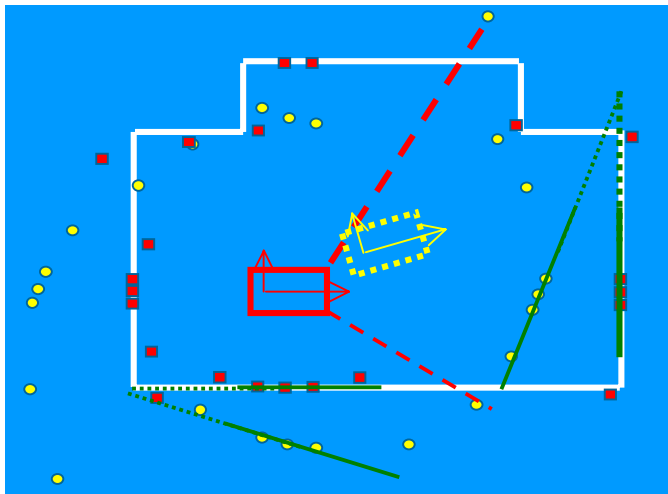
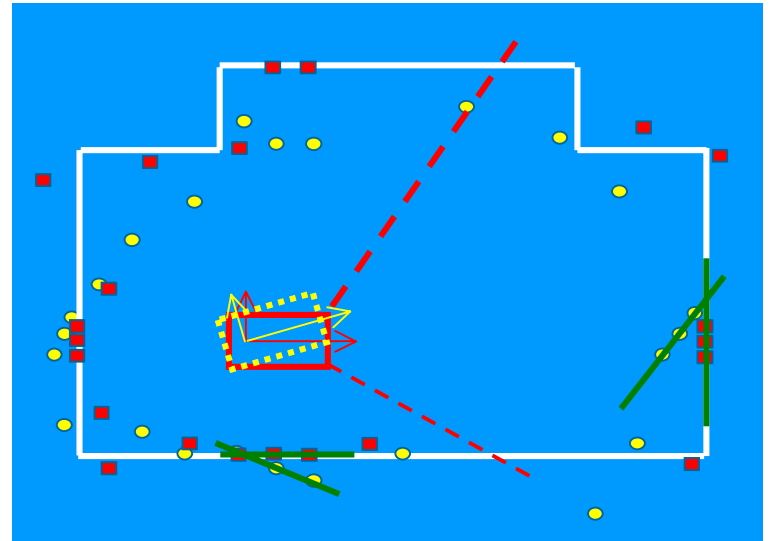


Detector de *Bias*

Translação



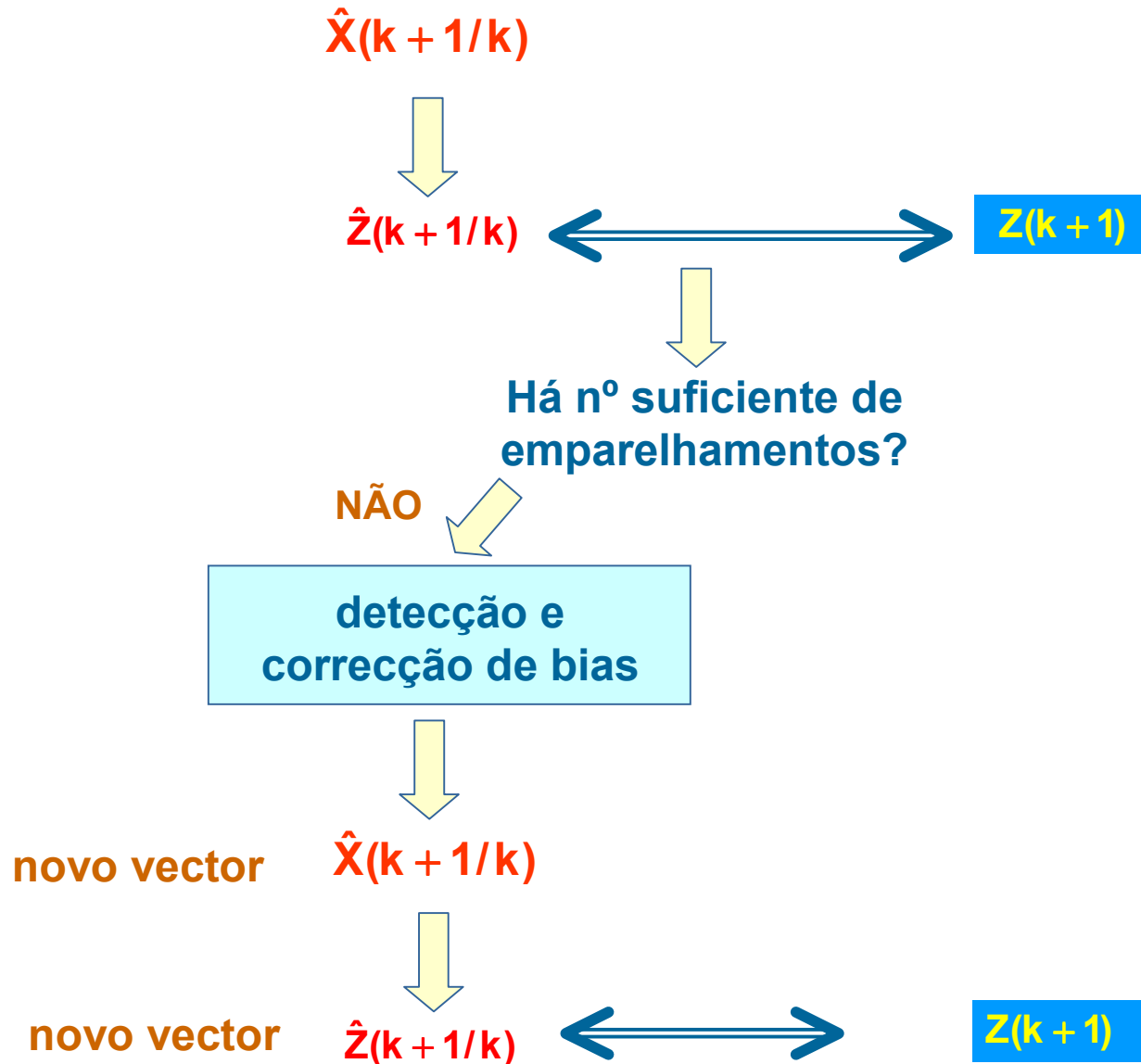
Orientação



Orientação e Translação



Detecção e correcção de *Bias*



Experiência 1 - sonar

depois do 1º passo de filtragem

Localização “real”

$$x = 2100 \text{ mm}$$

$$y = 2050 \text{ mm}$$

$$\theta = 20^\circ$$

Localização inicial dada por um operador

$$x = 2400 \text{ mm} \quad \sigma_x = 100 \text{ mm} \quad \hat{X}(0/0)$$

$$y = 1800 \text{ mm} \quad \sigma_y = 100 \text{ mm}$$

$$\theta = 17^\circ \quad \sigma_\theta = 15^\circ$$

Estimativa da localização

$$\hat{x} = 2190 \text{ mm} \quad \sigma_x = 27 \text{ mm} \quad \hat{X}(1/1)$$

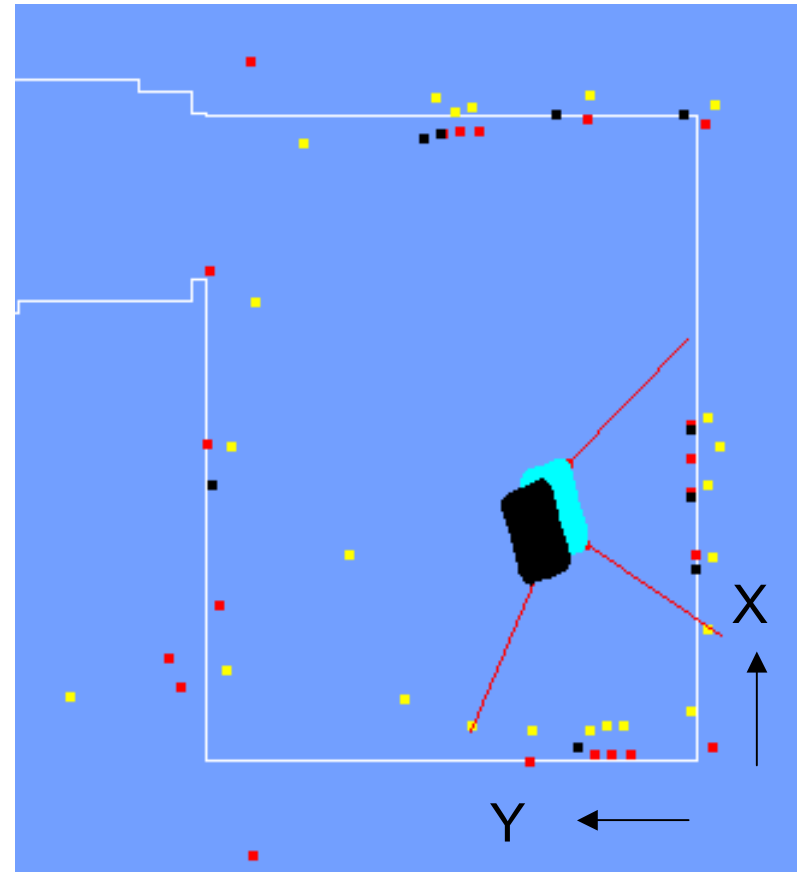
$$\hat{y} = 2030 \text{ mm} \quad \sigma_y = 26 \text{ mm}$$

$$\hat{\theta} = 19.9^\circ \quad \sigma_\theta = 3^\circ$$

$$\hat{X}(0/0) = \hat{X}(1/0)$$

■ $\hat{Z}(1/0)$ ■ $Z(1)$ Observações dos sonares transladadas ■ Emparelhamento válido para a localização prevista

--- Direcções segundo as quais não é possível fazer predição



Experiência 1 - sonar

depois do 3º passo de filtragem

Localização “real”

$x = 2100$ mm
 $y = 2050$ mm
 $\theta = 20^\circ$

Localização inicial dada por um operador

$x = 2400$ mm
 $y = 1800$ mm
 $\theta = 17^\circ$

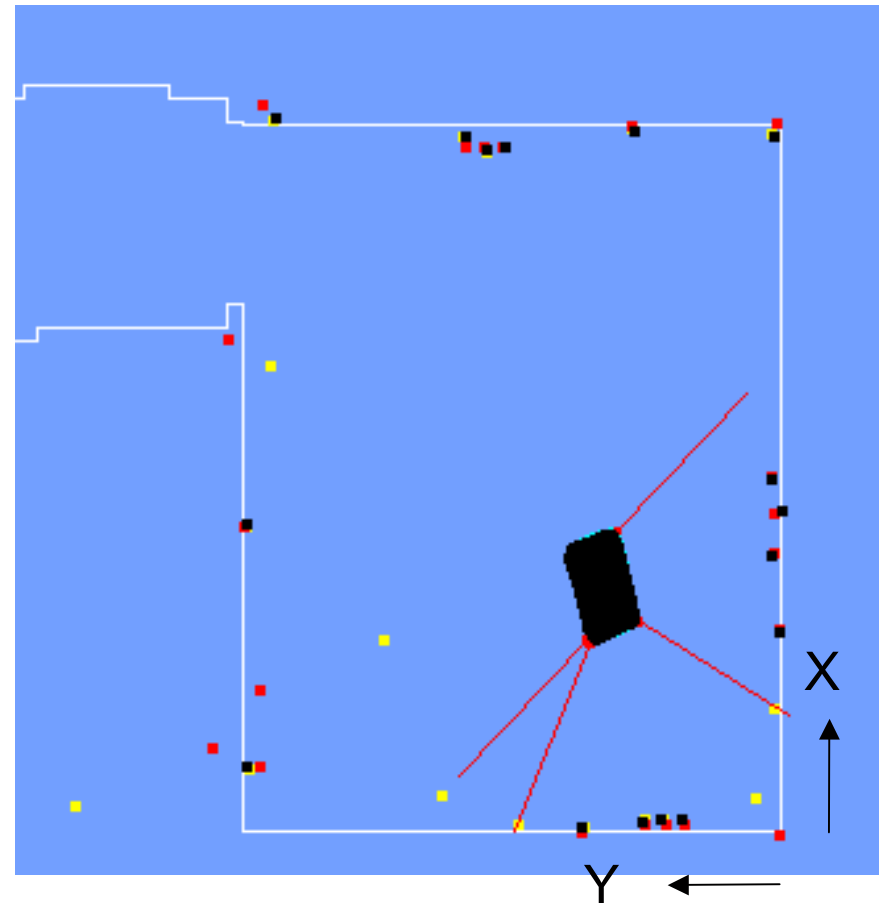
Estimativa da localização

$\hat{x} = 2134$ mm $\sigma_x = 14$ mm $\hat{X}(3/3)$
 $\hat{y} = 2063$ mm $\sigma_y = 14$ mm
 $\hat{\theta} = 17.9^\circ$ $\sigma_\theta = 2.4^\circ$

$\hat{X}(3/2)$ praticamente não se vê

■ $\hat{Z}(3/2)$ ■ $Z(3)$ Observações dos sonares transladadas ■ Emparelhamento válido para a localização prevista

--- Direções segundo as quais não é possível fazer predição



Experiência 1 - sonar

depois do 7º passo de filtragem

Localização “real”

$x = 2100 \text{ mm}$
 $y = 2050 \text{ mm}$
 $\theta = 20^\circ$

Localização inicial dada por um operador

$x = 2400 \text{ mm}$
 $y = 1800 \text{ mm}$
 $\theta = 17^\circ$

Estimativa da localização

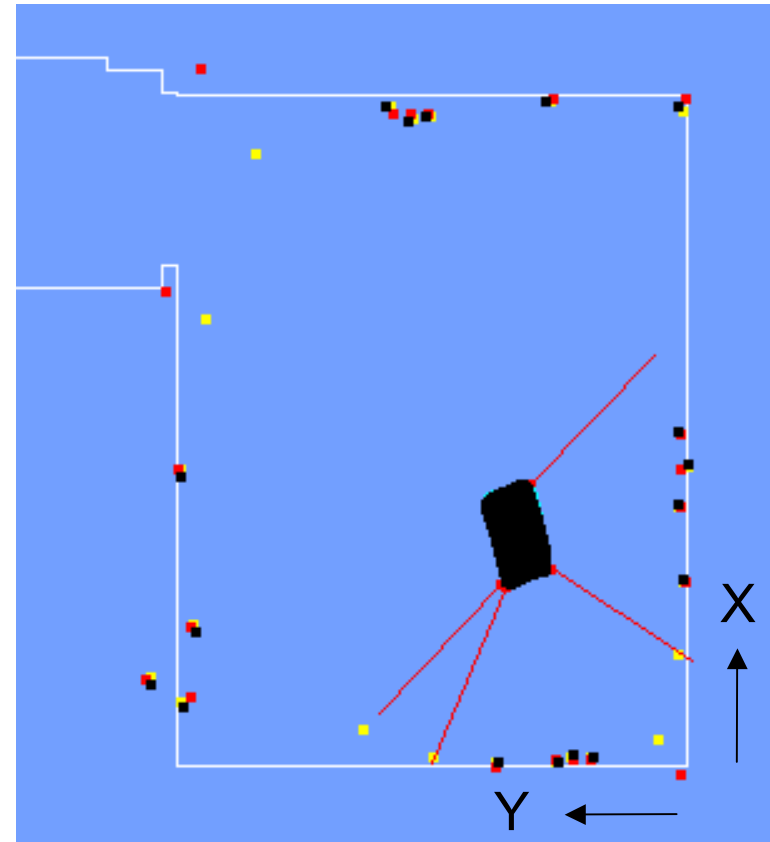
$\hat{x} = 2123 \text{ mm}$ $\sigma_x = 14 \text{ mm}$
 $\hat{y} = 2067 \text{ mm}$ $\sigma_y = 10 \text{ mm}$
 $\hat{\theta} = 18.3^\circ$ $\sigma_\theta = 2.2^\circ$

$\hat{X}(7/7)$

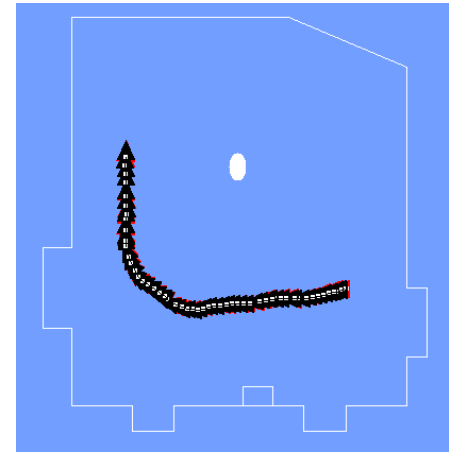
$\hat{X}(7/6)$ praticamente não se vê

■ $\hat{Z}(7/6)$ ■ $Z(7)$ Observações dos sonares transladadas ■ Emparelhamento válido para a localização prevista

--- Direções segundo as quais não é possível fazer predição



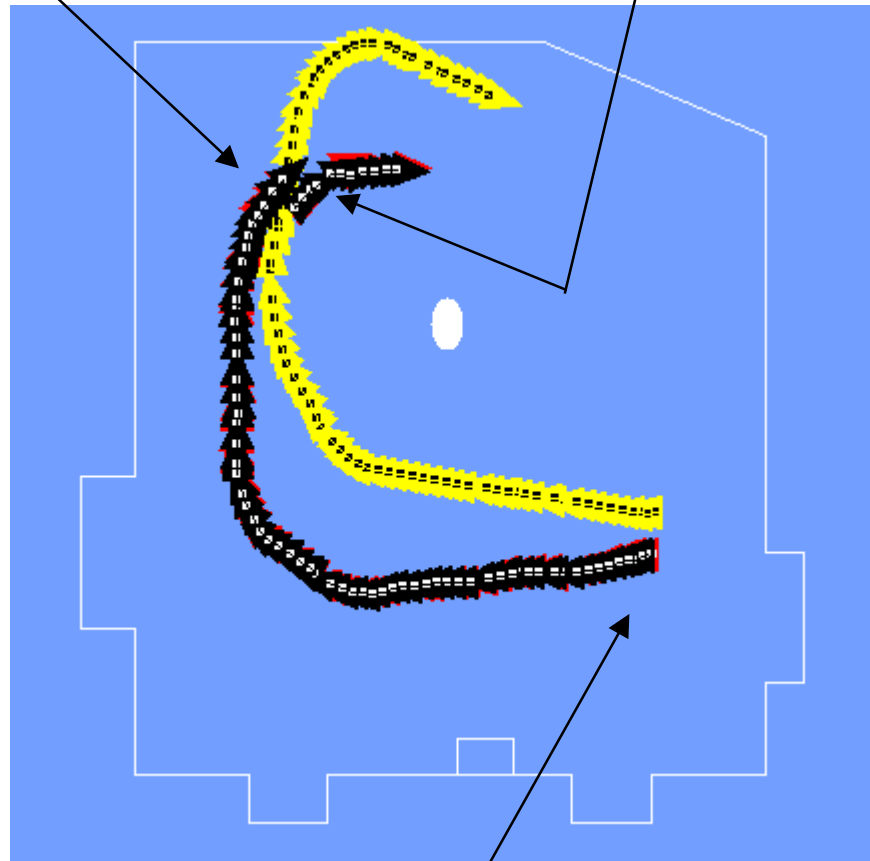
Experiência 2 - sonar



Experiência 2 - sonar

Bias de translacção

Bias de orientação

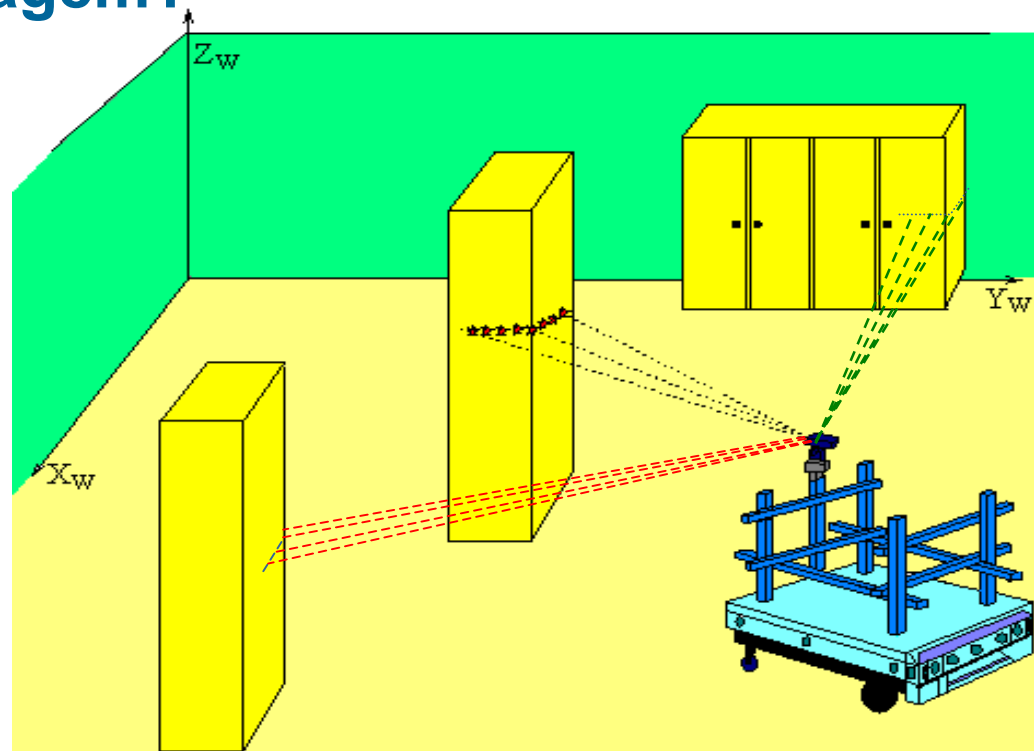


Bias de orientação e translacção



Escolha da landmark óptima - laser

- A partir de $\hat{X}(k + 1/k)$ há m landmarks (segmento + ponto+segmento) visíveis
- O processo de aquisição de dados é lento.
- Qual delas escolher para prosseguir para o passo de filtragem?



Escolha da landmark óptima - laser

Previsão de
m landmarks
visíveis

Matriz
covariância
inovação

Ganho do
filtro

Matriz
covariância
a posteriori

$$\hat{z}_1(k+1/k) \rightarrow S_1(k+1/k) \rightarrow K_1(k+1) \rightarrow \Sigma_{1X}(k+1/k+1)$$

$$\hat{z}_2(k+1/k) \rightarrow S_2(k+1/k) \rightarrow K_2(k+1) \rightarrow \Sigma_{2X}(k+1/k+1)$$

\mathbb{N}

$$\hat{z}_i(k+1/k) \rightarrow S_i(k+1/k) \rightarrow K_i(k+1) \rightarrow \Sigma_{iX}(k+1/k+1)$$

\mathbb{N}

$$\hat{z}_m(k+1/k) \rightarrow S_m(k+1/k) \rightarrow K_m(k+1) \rightarrow \Sigma_{mX}(k+1/k+1)$$

$\hat{X}(k+1/k)$

- Sem que sejam feitas observações

- Qual a landmark óptima?



Critério de escolha da landmark óptima

$$\min (\det \Sigma_{iX} (k + 1/k + 1))$$

Produto dos valores próprios

Volume Paralelepipedo que engloba o elipsóide de erro

Computacionalmente pesado

$$\min (\text{tr} \Sigma_{iX} (k + 1/k + 1))$$

Soma dos valores próprios

É o critério implementado pelo filtro de Kalman

Não é computacionalmente pesado

$$\min (\lambda_{max} (\Sigma_{iX} (k + 1/k + 1)))$$

Maior valor próprio

Representa a maior incerteza

Computacionalmente pesado



Experiência 1 - laser

Localização "real"

$$x = 2.780 \text{ m}$$

$$y = 2.300 \text{ m}$$

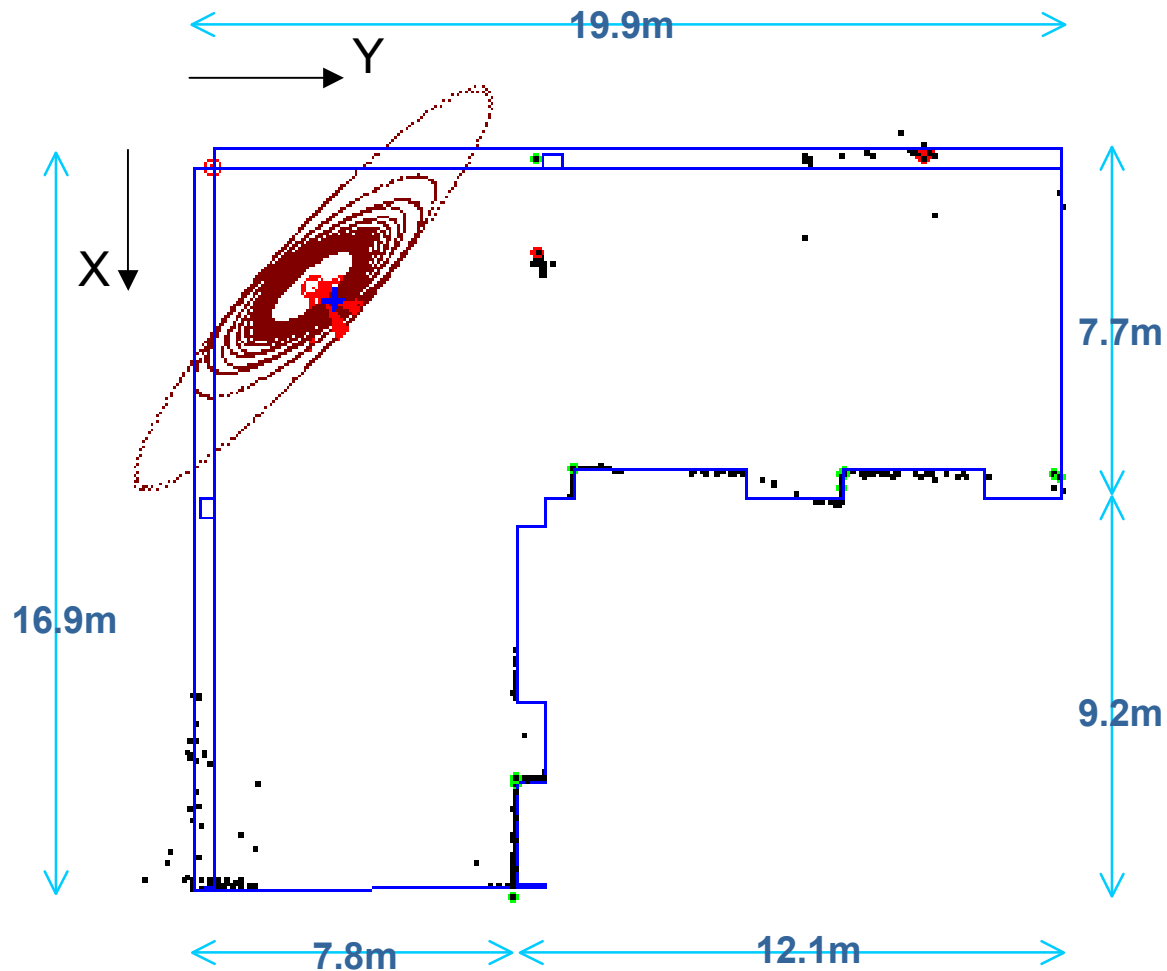
$$\theta = 61^\circ$$

Estimativa inicial

$$\hat{x} = 2.866\text{m}, \quad \sigma_x = 7.94\text{cm}$$

$$\hat{y} = 2.288\text{m}, \quad \sigma_y = 7.03\text{cm}$$

$$\hat{\theta} = 61.5^\circ, \quad \sigma_\theta = 0.93^\circ$$



elipse aumentada 20 vezes



Experiência 1 - laser

Localização “real”

$$x = 2.780 \text{ m}$$

$$y = 2.300 \text{ m}$$

$$\theta = 61^\circ$$

Estimativa inicial

$$\hat{x} = 2.866\text{m}, \quad \sigma_x = 7.94\text{cm}$$

$$\hat{y} = 2.288\text{m}, \quad \sigma_y = 7.03\text{cm}$$

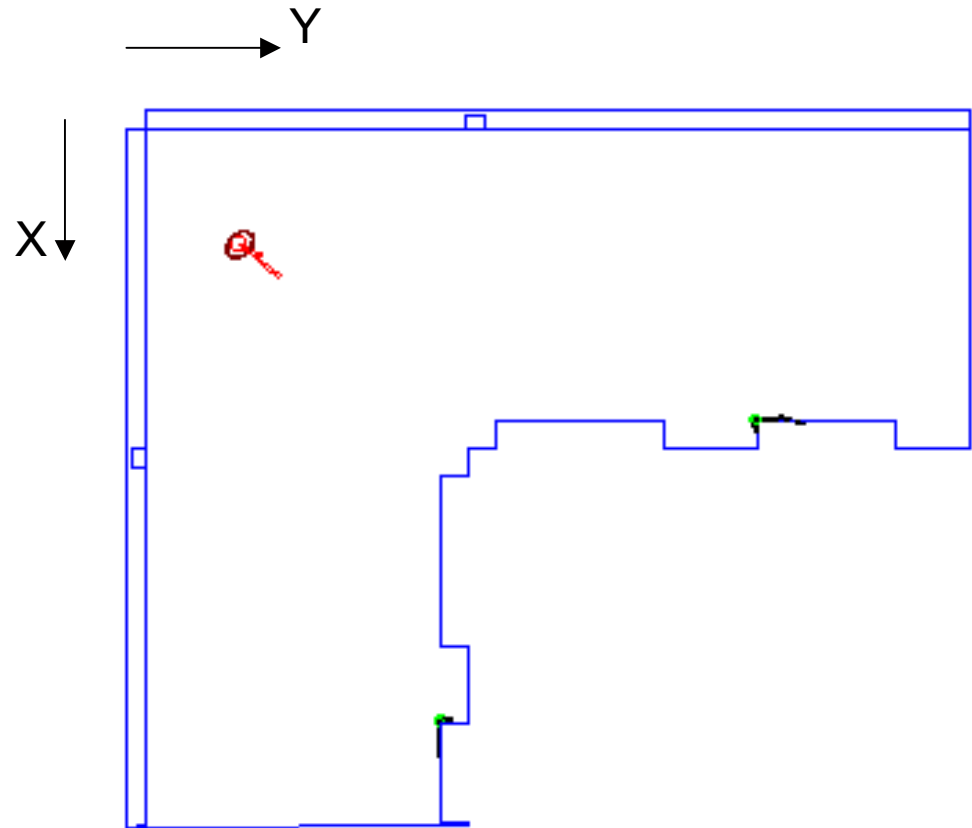
$$\hat{\theta} = 61.5^\circ, \quad \sigma_\theta = 0.93^\circ$$

Estimativa final

$$\hat{x} = 2.775\text{m}, \quad \sigma_x = 1.4\text{cm}$$

$$\hat{y} = 2.290\text{m}, \quad \sigma_y = 1.7\text{cm}$$

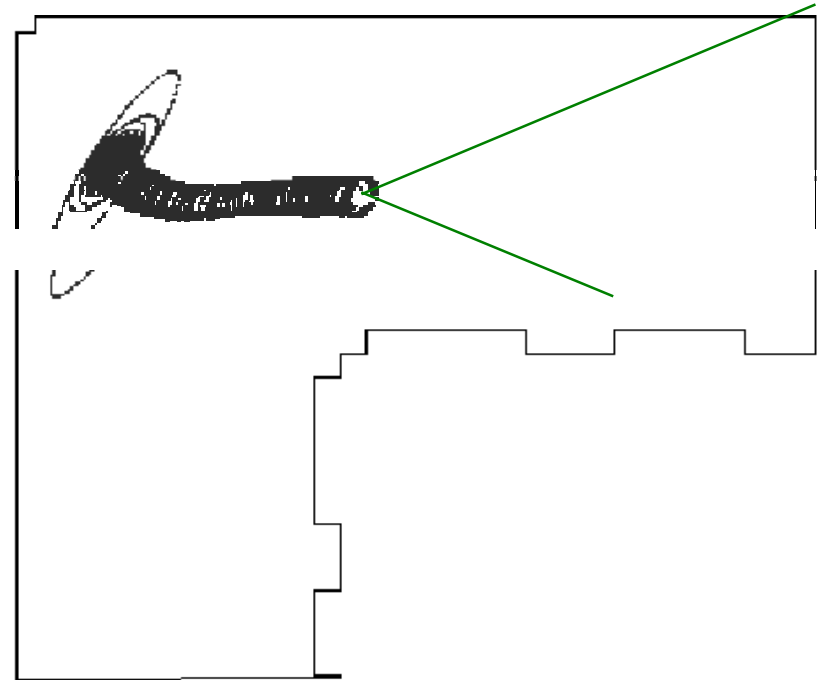
$$\hat{\theta} = 61.2^\circ, \quad \sigma_\theta = 0.14^\circ$$



elipse aumentada 20 vezes



Experiência 2 - laser



elipse aumentada 20 vezes



Conclusões

O ciclo

PREDIÇÃO-EMPARELHAMENTO-FILTRAGEM

é uma metodologia geral aplicável

- **à localização de robots móveis**
 - ◆ usando, isoladamente, diversos tipos de sensores
 - ◆ integrando dados de sensores distintos
- **à construção de mapas de ambientes**
- **à localização e à construção simultanea de mapas de ambientes**

